

## ФАКТИЧНЫЙ АНАЛИЗ СЛУЧАЕВ ПРЕДСКАЗАНИЯ ОБРУШЕНИЯ СКЛОНОВ<sup>1</sup>

Докт.-инж. МИЧИТАКА САИТО<sup>2</sup>

От редактора. Один из самых удивительных успехов в области инженерной геологии за последнее время—чрезвычайно точное предсказание в 1969 г. докт.-инж. Мичитака Сaito времени начала оползня Такабаяма в Японии—время катастрофы было определено с ошибкой, составляющей всего 6 минут! Краткие сведения об этом оползне и о способе предсказания времени обрушения склона появились на английском и японском языках в нескольких последовательных изданиях. Ввиду того, что прогноз оползней имеет важное значение, во время своего пребывания в Японии в 1977 г. по приглашению Японского оползневого общества для чтения лекций я попросил докт.-инж. M. Saito подготовить более полную статью о применяемых в Японии методах предсказания оползней для ее публикации в «Проблемах геомеханики». Докт.-инж. M. Saito весьма любезно принял мое предложение и прислал в Ереван обещанную статью на английском языке, которая и была включена в сборник, намеченный к изданию в 1978 г. По не зависящим от нас обстоятельствам издание сборника задержалось до 1982 г. За это время с согласия редактора докт.-инж. M. Saito опубликовал свою статью на английском языке, с кратким содержанием на японском языке, в сборнике трудов Корпорации «OYO Technical Report» с соответствующей ссылкой (Saito, 1979). Исходя из этого, редакция нашла более целесообразным опубликовать статью докт.-инж. M. Saito на русском языке полностью, а ее сокращенное содержание—на армянском и английском языках.

Г. И. Тер-Степанян

Реферат. В статье дается описание трех способов, применяемых для предсказания обрушения склонов, а именно: 1) грубой оценки, основанной на установленной скорости деформации во вторичной области ползучести; 2) близкой оценки путем вычисления или графического анализа с использованием заменяющей логарифмической формулы и 3) окончательного точного вычисления времени, основанного на линейности полулогарифмического графика зависимости между деформацией и временем до разрушения. Рассмотрев несколько случаев из практики, автор приходит к выводу, что метод предсказания времени обрушения, основанный на характеристиках ползучести-разрушения, эффективен и достоверен.

### ВВЕДЕНИЕ

Метод предсказания обрушения склонов, основанный на характеристиках ползучести-разрушения грунта, был опубликован последовательно в трудах международных конгрессов по механике грунтов и фундаментостроению. Я бы хотел объяснить ход разработки этого

<sup>1</sup> Перевод с английского А. Г. Тер-Степанян.

<sup>2</sup> Директор и главный инженер Корпорации OYO, Токио, Япония.

метода, представить тенденции изучения характеристик ползучести-разрушения и привести фактическую оценку метода с анализом случаев обрушения склонов.

Слово «предсказание», по-видимому, имеет разные аспекты и в каждом случае по-разному воспринимается разными людьми.

В некоторых случаях это означает отбор таких склонов, на которых в ближайшем будущем могут возникнуть разрушения или сильные движения, хотя они в настоящем и кажутся устойчивыми. Наших нынешних знаний, тем не менее, недостаточно для подобных суждений, и настаивать на этом значило бы навязывать одностороннее предвзятое мнение. Верно ли это, можно будет оценить путем изучения случаев из практики.

Иногда слово «предсказание» используется как синоним для выражения «степень опасности обрушения склонов» и означает возможность возникновения многочисленных разрушений склонов в пределах некоторого ограниченного участка. В данном случае эта возможность будет определяться некоторыми условиями, как например количеством или интенсивностью осадков или таянием снега.

В большинстве случаев, однако, «предсказание» относится к образованию оползней или обрушений на конкретном склоне и означает определение места, размеров, типа и времени начала быстрых движений. Среди этих вопросов наиболее актуальным является изучение времени образования оползня или обрушения склона. Поэтому в дальнейшем можно ограничиться тем значением «предсказания», которое относится ко времени обрушения.

### РАЗРАБОТКА МЕТОДА ПРЕДСКАЗАНИЯ ВРЕМЕНИ ВОЗНИКНОВЕНИЯ НЕДОПУСТИМО БЫСТРЫХ ДВИЖЕНИЙ НЕУСТОЙЧИВЫХ СКЛОНОВ

#### *Разработка метода предсказания*

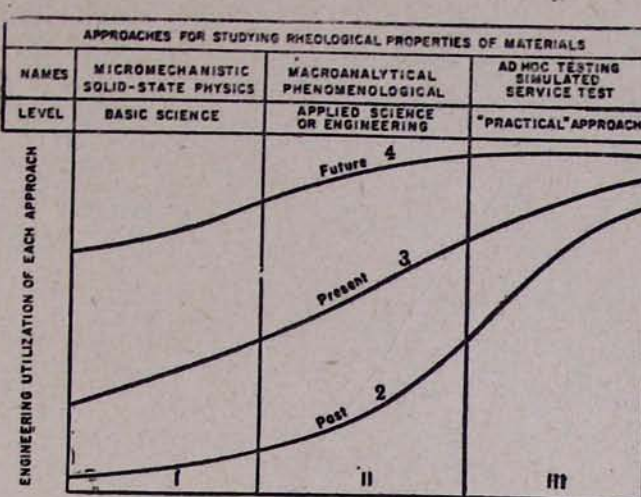
Для разработки метода предсказания необходимо найти эффективные факторы. Эффективными следует считать факторы, которые обычно появляются до обрушения. Кроме того, необходимо, чтобы их уровень измерялся количественно и чтобы время от появления этих факторов до обрушения не было очень коротким. Желательно также, чтобы измерение этих факторов было достаточно простым и чтобы можно было принимать четкие решения.

Факторы предсказания могут быть разделены на несколько групп: первая группа может быть названа прямыми факторами, как-то: горизонтальные и вертикальные смещения, накопление или деформирование поверхности склона; вторая группа—это полупрямые факторы, непосредственно связанные с механизмом движения, как-то: напряжение в грунте, давление в поровой воде, осадки, таяние снега, сопротивление сдвигу грунта и третья группа—непрямые факторы, которые сопровождают движение грунта или влияют на него, как-то: температура, геоэлектрический потенциал, акустическая эмиссия, поведение животных и т. д.

Различные методы подхода к этой задаче можно классифицировать следующим образом (Lazap, 1962):

- 1) физический (физика твердого тела) или микромеханический подход (фундаментальные науки);
- 2) макроаналитический или феноменологический подход (технические науки);
- 3) практический подход, при котором проводят испытание ad hoc, т. е. «на данный случай», или модельные испытания.

Рис. 1. Три подхода к изучению реологических свойств материалов (Lazan, 1962). I—микромеханический, в физике твердого тела (фундаментальные науки); II—макроаналитический или феноменологический (прикладные или технические науки); III—испытание «для данного случая» или производственное испытание («практический» подход); I—инженерное использование каждого подхода; 2—в прошлом; 3—в настоящем; 4—будущем.



Ч. 1. Կարեքի պեղպահան հատկությունների ուսումնասիրման երեք լուծում (Lazan, 1962), I—միկրոմեխանիկական՝ պինդ մարմինի ֆիզիկայում (ֆունդամենտալ գիտություններ), II—մակրոանալիտիկ կամ երևութաբանական (կիրառական կամ տեխնիկական գիտություններ), III—փորձարկում «տվյալ դեպքի համար» կամ արդյունաբերական փորձարկում (սպորտական մուտքեցման ինժեներական գոտագործում). 1—ամեն մի մուտքեցման ինժեներական օգտագործում, 2—անցյալում, 3—ներկայում, 4—ապագայում:

Fig. 1. Three approaches for studying rheological properties (Lazan, 1962).

Соотношение между этими тремя подходами и изменение их значения со временем показаны на рис. 1. Первый подход наиболее приемлем, но он еще не является техническим инструментом для расчета свойств инженерных материалов. Третий относится к совершенно иному типу по сравнению с первым. Его результаты полностью применимы к интересующей нас специфической проблеме, но он имеет ряд серьезных недостатков, как-то: длительность явлений и неприменимость в случае различных режимов. В противоположность этим подходам второй является наиболее практичным и успешным при анализе поведения инженерных материалов. Принятие этой классификации весьма полезно для нахождения эффективных факторов предсказания.

#### Развитие метода предсказания, основанного на явлении ползучести—разрушения грунтов

Наиболее рациональный метод определения факторов для предсказания заключается в проведении испытаний склонов на обрушение. Это дает возможность найти наиболее чувствительные факторы, которые могут показать более ранние изменения. Но обрушения, которые могут быть экспериментально воспроизведены, представляют собой только часть обрушений, происходящих в природе, и не все полученные таким образом результаты применимы к действительным обрушениям.

Например, в случае испытания образцов грунта на разрушение при ползучести приложение напряжений ведет прежде всего к периоду неустановившейся ползучести, в течение которого скорость ползучести вначале внезапно увеличивается, затем непрерывно уменьшается со временем, далее следует ползучесть с постоянной скоростью деформирования, и, наконец, процесс переходит в ускоряющуюся стадию, ведущую в конце концов к обрушению. Эти три стадии обычно называют первичной, вторичной и третичной ползучестью (рис. 2а).

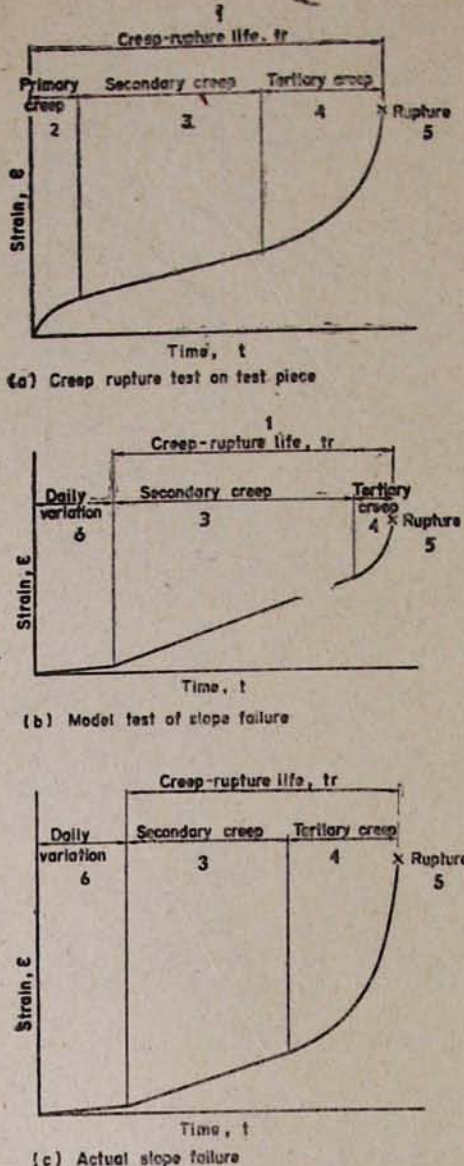


Рис. 2. Типичное выражение различных кривых ползучести—разрушения; а) испытание на ползучесть—разрушение на опытном образце; б) модельные испытания обрушения склонов; в) действительное обрушение склона. Абсциссы—время  $t$  ординаты—деформация  $\epsilon$ ; 1—длительность ползучести—разрушения; 2—первичная ползучесть; 3—вторичная ползучесть; 4—третичная ползучесть; 5—разрушение; 6—суточные изменения.

Ч. 2. Տարբեր տպելիութեան կարգամեթի տիպային աշխահայտություն. а) տպելիութեան փորձարկութ բնույթի վրա. б) բանքերի փուլութեան մասնային փորձարկութեան. в) լանջի իրական փուլութեան. Արցիկները՝  $t$  ժամանակ, օրդինատները՝ ձևափոխություն. 1—տպելիութեան  $t_r$  տևողություն. 2—առաջնային տողը. 3—երկրորդային տողը. 4—երրորդային տողը. 5—բայցայիւն. 6—օրական փոփոխություններ.

Fig. 2. Typical expression of various creep-rupture curves.

Однако в случае модельных испытаний обрушения склонов при помощи искусственного дождевания не происходит внезапного увеличения напряжений, поэтому первичная ползучесть не проявляется, но вторичная ползучесть может наблюдаться—она прямо следует за суточными изменениями ползучести. Область третичной ползучести довольно мала, как показано на рис. 2в.

Действительные обрушения склонов сходны со случаем модельных испытаний, в которых отсутствует область первичной ползучести, но область третичной ползучести очень велика, в особенности если учитывать общую деформацию и скорость деформирования, как это видно из рис. 2с. Поэтому модельные испытания

склонов не используются для анализа действительного обрушения склонов. Тем не менее, можно быть уверенным в том, что они представляют собой ценные орудие для отбора факторов предсказания. Можно считать, что именно эти их достоинства и недостатки являются неизбежным следствием вышеупомянутого испытания ad hoc.

Путем натурных испытаний обрушения склонов при искусственном дождевании на экспериментальной станции Ноу Японских государственных железных дорог (ЯГЖД) в 1949 г. было установлено, что деформация поверхности склонов является наиболее эффективным фактором предсказания (Saito & Uezawa, 1961; Saito, 1965). Их следствием явились лабораторные испытания ползучести—разрушения (феноменологический подход) (Saito & Uezawa, 1961). Эти резуль-

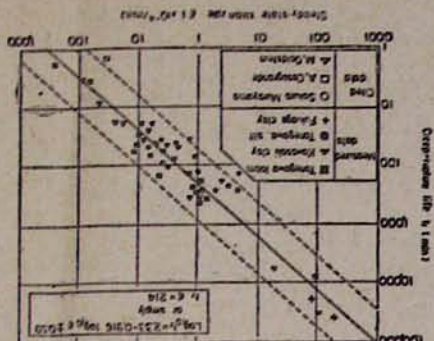


Рис. 3. График прогноза, использующий соотношение между установившейся скоростью деформации  $\dot{\epsilon}$  ( $\times 10^{-4}$ ) в минуту и длительностью  $t_r$  ползучести—разрушения в минутах.

Նկ. 3. Կանխագուշակման գրաֆիկ, որը օգտագործում է նարարկույթում ձևափոխության հաստատված արագույթան  $\dot{\epsilon}$  ( $\times 10^{-4}$ ) րազեռմ և սողմակման  $t_r$  տևողության (բարենքը) միջև:

Fig. 3. Forecast diagram using the relation between steady-state strain rate and creep-rupture life.

таты показаны на графике предсказания, дающем обратную пропорциональность между установившейся скоростью деформирования и длительностью жизни ползучести разрушения (рис. 3).

Эта зависимость была проверена на действительных случаях обрушения склонов (Saito, 1965), и ее эффективность для предсказания жизни до обрушения была подтверждена (рис. 4). Более того, путем анализа случая оползня Асамуши было найдено, что с некоторыми видоизменениями это обратно пропорциональное соотношение может быть распространено и на область третичной ползучести. Такое построение было названо графическим анализом; оно поясняется направлением стрелок на рис. 5. Приложение этого метода к оползню Асамуши показано на рис. 6 (Saito, 1969).

Таким образом, был установлен метод предсказания оползней, основанный на характеристиках ползучести-разрушения (Saito, 1968), который состоит в следующем.

Длительность жизни до обрушения склонов в области вторичной ползучести определяется на графике предсказания (рис. 3) или вычисляется по следующей формуле:

$$\lg t_r = 2,33 - 0,916 \lg \dot{\epsilon} \pm 0,59, \quad (1)$$

или из простого выражения

$$t_r = 214 \quad (2)$$

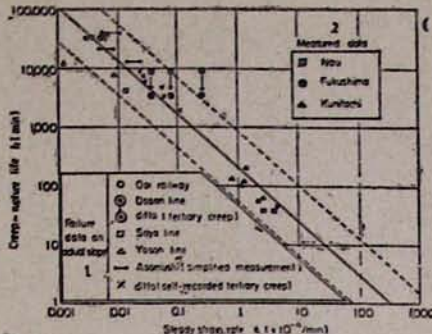


Рис. 4. Достоверность графика прогноза, использующего данные испытаний обрушения склонов и действительных обрушений склонов. Абсциссы—установившаяся скорость деформации  $\dot{\epsilon}$  ( $\times 10^{-4}$  мин $^{-1}$ ), ординаты—длительность ползучести—разрушения  $t_r$ , в минутах. 1—данные об обрушении действительных склонов, 2—измеренные величины.

Նկ. 4. Լանցերի փլամակի փարձարկումը և լանցերի իրական փլամակի տվյալների օգտագործումը կանխագուշակման գրաֆիկի առաջարկույթում: Արագույթում—ձևափոխման հաստատված արագույթը ( $\times 10^{-4}$  րոպե $^{-1}$ ), օրդինատներ—սողմակման  $t_r$  տևողությունը բարենքը: 1—իրական լանցերի փլամակի տվյալներ, 2—շափակած մեծություններ:

Fig. 4. Validity of forecasting diagram using data of slope failure tests and actual slope failures.

где  $t_r$ —длительность жизни ползучести-разрушения в минутах и  $\dot{\epsilon}$ —установившаяся скорость ползучести в  $10^{-4}$  в минуту.

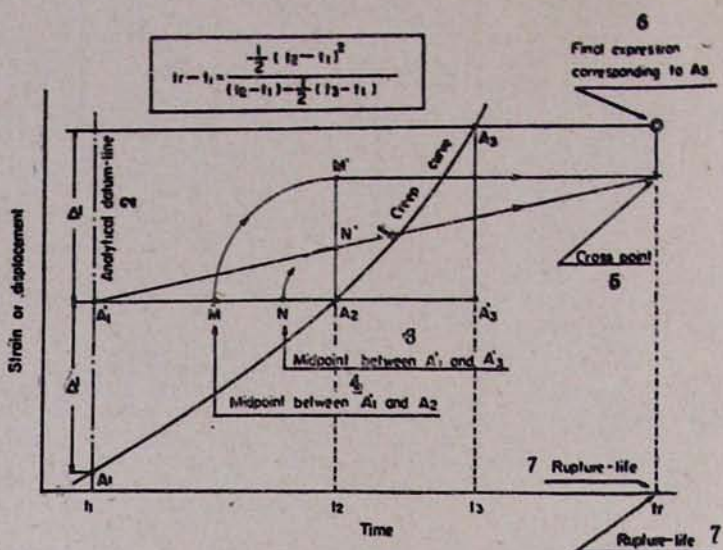


Рис. 5. Метод графического анализа длительности ползучести-разрушения в области третичной ползучести. Абсциссы—время, ординаты—деформации или перемещения. 1—кривая ползучести; 2—аналитический базис; 3—серединная точка между  $A'_1$  и  $A'_3$ ; 4—серединная точка между  $A'_1$  и  $A'_2$ ; 5—точка пересечения; 6—конечное выражение, соответствующее  $A'_3$ ; 7—продолжительность разрушения.

Ակ. 5. Սոլքի երրորդային տիպավորած սոլք—խմբան տևողության գրաֆիկական վերականգնման մերությունը: Աբշիսներ—ժամանակ, օրդինատներ—ձևափոխություններ կամ տեղաշարժեր. 1—սոլքի կորպահծ, 2—անալիտիկ բազիս, 3— $A'_1$  և  $A'_3$  կետերի միջև միջնակետ, 4— $A'_1$  և  $A'_3$  կետերի միջև միջնակետ, 5—հատման կետ, 6— $A'_3$ -ին համապատասխանող վերջնական արտահայտություն, 7—բարյարձան տևողություն:

Fig. 5. Procedure of graphical analysis for creep-rupture life in the tertiary creep range.

В области третичной ползучести в качестве эмпирической формулы может служить следующее логарифмическое уравнение:

$$\epsilon - \epsilon_0 = A \lg \frac{t_r - t_0}{t_r - t} \quad (3)$$

или

$$\Delta l = l A \lg \frac{t_r - t_0}{t_r - t}, \quad (4)$$

где  $t_r$ —длительность жизни ползучести-разрушения, т. е. время, оставшееся до обрушения;  $t_0$ —исходное время;  $\epsilon$ —деформация в произвольный момент времени;  $\epsilon_0$ —деформация во время  $t_0$ ;  $\Delta l = \epsilon l$ —относительная деформация.

Длительность жизни до обрушения получается по эмпирической логарифмической формуле путем вычисления или графического анализа, а также путем изображения измеренных величин на полулогарифмическом графике.

Поэтому рекомендуется грубо определять время начала обрушения склона по установленвшейся скорости деформирования в области вторичной ползучести и более близко оценивать его, пользуясь заме-

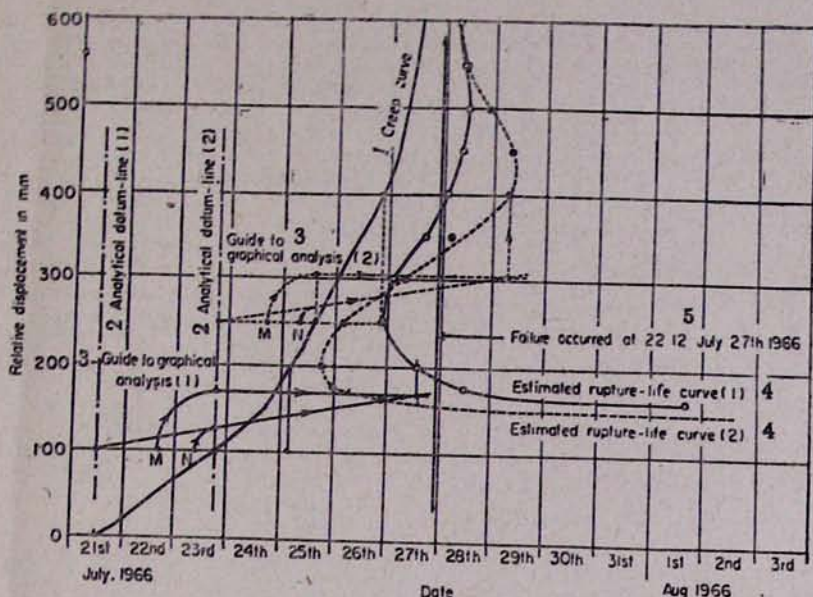


Рис. 6. Прогноз времени обрушения оползня Асамуши с помощью графического анализа. Абсциссы—даты, ординаты—относительные перемещения в мм; 1—кривая ползучести; 2—аналитический базис; 3—направляющая графического анализа; 4—вычисленная кривая длительности разрушения; 5—обрушение произошло 27 июля 1966 г., в 22 ч 12 мин.

Աղյ. 6. Ասամուշի սողանքի փրկածի ժամանակի կանխագայշակումը դրաֆիկական վերլուծման միջոցով: Արցիսիներ—ամսաթվեր, օրդինատներ—հարաբերական տեղաշարժումներ մմ-ով. 1—սողի կորպաֆի, 2—անալիտիկ բազի, 3—դրաֆիկական վերլուծման ուղղորդ, 4—քայլայի անդամության հաշվարկված կորպաֆի, 5—փրկածի տեղի ունեցած 1966 թ. հուլիսի 27-ին, 22 ժամ 12 րոպեին:

Fig. 6. Forecast failure time of Asamushi landslide by means of graphical analysis.

няющей логарифмической формулой в области третичной ползучести. Кроме этого для предсказания в области третичной ползучести в качестве грубой оценки может быть использован метод оценки в области вторичной ползучести, однако необходимо, чтобы предупреждение делалось заблаговременно, за час до обрушения.

#### Сопоставление экспериментальных данных испытаний ползучести—разрушения

Имеется множество статей, содержащих результаты испытаний образцов грунтов или скальных пород на ползучесть—разрушение, и было высказано много мнений относительно интерпретации и обработки результатов испытаний.

Прежде всего заслуживает внимания мнение, что область вторичной ползучести не существует, если даже скорость деформирования рассматривается как постоянная, иначе говоря, скорость деформирования вначале непрерывно уменьшается, а затем увеличивается до наступления разрушения. Это обстоятельство ясно обнаруживается, если показать на полулогарифмическом графике скорость деформирования и протекшее время (Miyayama & Shibata, 1961, 1965; Finn & Snead, 1973; Campanella & Vaid, 1974), или если тем же путем показать осевую деформацию и скорость осевой деформации (Bishop, 1966), как изображено на рис. 7—10, соответственно. Это выражение верно при условии, что применяются логарифмические шкалы. Однако

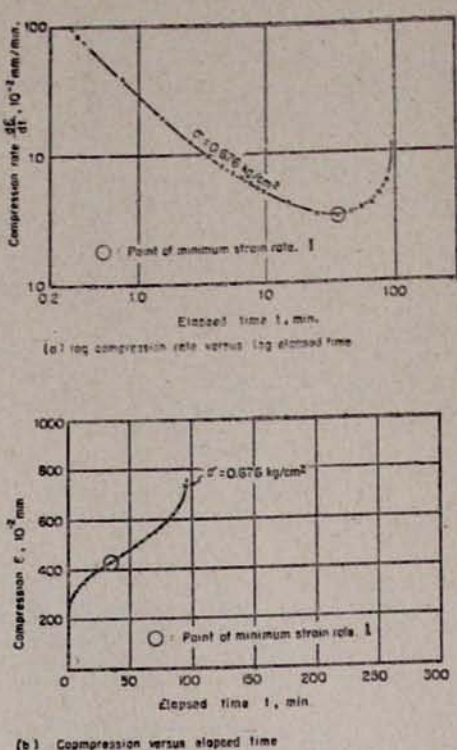


Рис. 7. Различные выражения кривых ползучести—разрушения по Мураяма и Шибата (Murayama & Shibata, 1956). а) Логарифм скорости сжатия в  $dE/dt \times 10^{-2}$  мм в минуту в сравнении с логарифмом протекшего времени  $t$  в минутах; 1—точка минимальной скорости деформации или скорости деформации при пределе мобилизации по Тер-Степаняну (1976); б) Сжатие  $E \times 10^{-2}$  мм по сравнению с протекшим временем в минутах.

Чы. 7. Унтар-жадибаш կагафдэгэх шарын тааныалыртмийнээс үзүүлж үзүүлж үзүүлж (Murayama & Shibata, 1956); а) ийнхүү шарын тааныалыртмийн  $dE/dt \times 10^{-2}$  мм. гамбийн, шарын тааныалыртмийн  $t$  шамбалынх (гацаанындаа) явахырьшиг үзүүлж. 1—ձևлихин шарын тааныалыртмийн явахырьшиг үзүүлж. 1—ձևлихин шарын тааныалыртмийн явахырьшиг үзүүлж. б) ийнхүү  $E \times 10^{-2}$  мм. гамбийн шарын тааныалыртмийн  $t$  шамбалынх (Тер-Степанян, 1976). б) ийнхүү  $E \times 10^{-2}$  мм. гамбийн шарын тааныалыртмийн  $t$  шамбалынх (Тер-Степанян, 1976).

Fig. 7. Different expressions of a creep-rupture curve published by Murayama & Shibata (1956).

оно некоторым образом относится к области мистики, потому что равные приращения координат не означают одинаковой длины.

Логарифмическое изображение показывает малые части чрезмерно крупно и большие части чрезмерно мелко. Поэтому в случае логарифмических координат для скорости деформирования и протекшего времени различие скорости ползучести в пределах одного цикла в области минимальной скорости ползучести или скорости ползучести у предела мобилизации по Тер-Степаняну (1976) довольно мало; тем не менее, один цикл протекшего времени в области минимальной скорости ползучести означает существенно длительное время, вследствие того, что от начала ползучести протекло много времени: конечная точка цикла протекшего времени соответствует в десять раз большему времени, чем начальная точка этого цикла. Точка минимальной скорости деформирования расположена в правой стороне логарифмической оси времени: поэтому скорость ползучести по оси времени незначительно изменяется в области этой точки и, таким образом, кажущаяся постоянной скорость вторичной ползучести, вычисленная по обычному графику времени—деформация, в сущности одинакова с минимальной скоростью ползучести, как это принимается Кампанелла и Вайдом (Campanella & Vaid, 1974). Следовательно, область вторичной ползучести действительно существует.

Следующая проблема заключается в определении термина «разрушение». В случае глинистых образцов часто можно видеть, что вскоре после изменения наклона кривой времени наблюдаются трещины сдвига. Поэтому время до разрушения в испытаниях на ползучесть—разрушение иногда определяется как точка начала ускорения, так сказать, точка минимальной скорости ползучести, как это принимается рядом ученых (Casagrande & Wilson, 1951; Singh & Mitchell, 1969; Flinn & Sneed, 1973). Но это мнение кажется довольно странным и не всегда подтверждается. Причина заключается в том, что эти понятия были зам-

Рис. 8. Различные выражения кривой ползучести—разрушения по Финну и Снейду (Finn & Snead, 1973). а) Логарифм скорости осевого сжатия в % в минуту по сравнению с логарифмом протекшего времени в минутах для нормально-консолидированного опыта C-6,  $\sigma_1 - \sigma_3 = 300$  кПа. б) Осевая деформация в % по сравнению с протекшим временем в минутах,  $\sigma_1 - \sigma_3 = 300$  кПа; 1—точка минимальной скорости деформации.

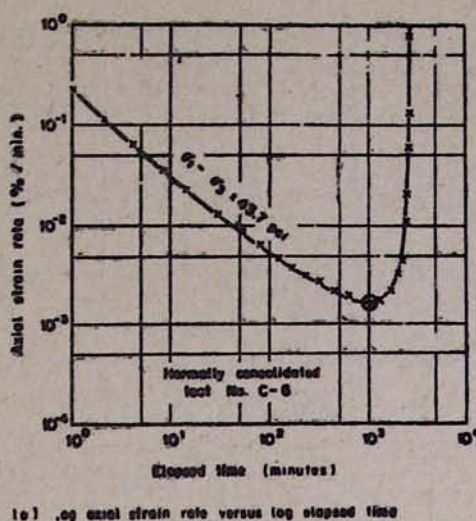
Ил. 8. Սալֆ-խուման կացածքի տարբեր աշխայակարգերները ըստ Ֆիննի և Սնեյդի (Finn & Snead, 1973), а) C-6 եռումալ կանոնիվածված փակել համար առանցքային սեղմման աշխայակարգը (%-ներակ բայկալու) լուսարիմք անցած ժամանակի (ըստիներակ) լուսարիմքի համեմատությամբ:  $\sigma_1 - \sigma_3 = 300$  կՊա: б) Առանցքային ձևափոխությամբ (%-ներակ) անցած ժամանակի (ըստիներակ) համեմատությամբ,  $\sigma_1 - \sigma_3 = 300$  կՊա, 1—ձևափոխության նվազագույն արագության կետ:

Fig. 8. Different expressions of a creep-rupture curve published by Finn & Snead (1973).

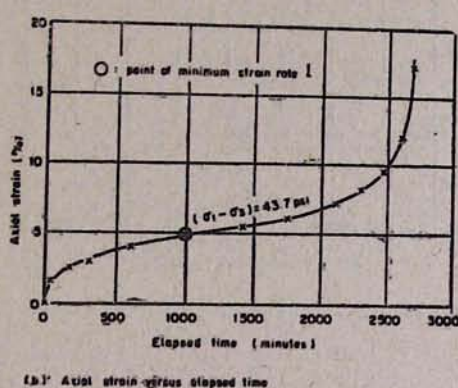
ствованы из явлений ползучести—разрушения металлов, которые при увеличении скорости деформации выходят из строя, как например в реактивных двигателях при высоких температуре и давлении. В противоположность этому в случае грунтов после достижения минимальной скорости деформирования обычно до наступления разрушения остается достаточно длительное время и происходят большие смещения, как это видно из рис. 7—10. Нет оснований к тому, чтобы эта область третичной ползучести не рассматривалась как область разрушения. Поэтому в случае грунтов разрушение должно быть определено как окончательное и макроскопическое состояние разъединения.

В современной литературе имеется много ценных статей, посвященных этому вопросу. На рис. 11 показано соотношение между неустановившейся минимальной скоростью деформации сдвига и общей длительностью жизни до разрушения (Finn & Snead, 1973). На рис. 12 приведено соотношение между установившейся скоростью ползучести и временем до разрушения по Курихара (Kurihara, 1972). На рис. 13 показано соотношение между минимальной скоростью ползучести и временем до разрушения, опубликованное Секигучи (Sekiguchi, 1977). На рис. 17 показано соотношение между скоростью деформирования и временем до разрушения горных пород, полученное Морлье (Morlier, 1964).

Учитывая вышеуказанные соображения, можно заключить, что минимальная скорость деформирования не должна сильно отличаться от установившейся скорости деформирования, так что можно одинаковым образом трактовать обе скорости деформирования. На рис. 15 сопоставлены результаты всех испытаний на ползучесть—разрушение



1a) Axial strain rate versus log elapsed time



1b) Axial strain versus elapsed time

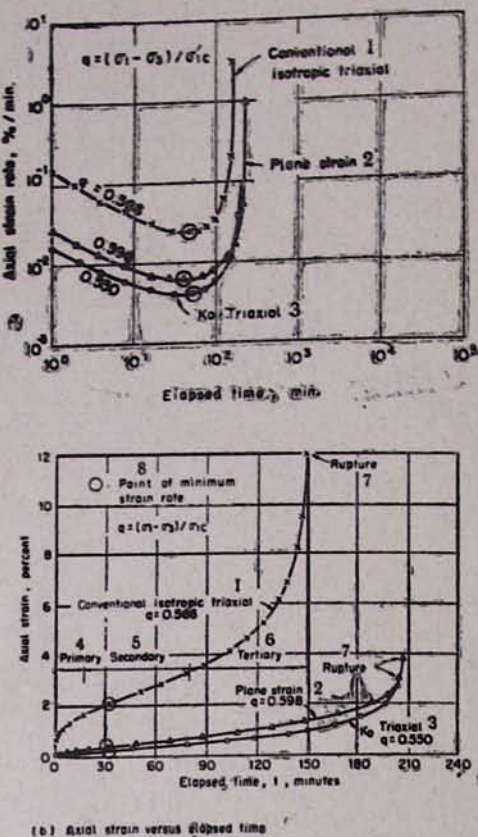


Рис. 9. Различные выражения кривых ползучести-разрушения по Кампанелла и Вайду (Campanella & Vaid, 1974). а) Логарифм скорости осевой деформации в % в минуту по сравнению с логарифмом протекшего времени в минутах; 1—стандартное изотропное трехосное испытание; 2—плоскодеформированное испытание; 3—трехосное испытание при отсутствии боковых деформаций; 4—первичная; 5—вторичная; 6—третичная; 7—разрушение; 8—точка минимальной скорости деформации.

Часть 9. Уилф-Коидзуми կուրագերի տարբեր աշխայալուրյունները ըստ Կամպանելլայի և Վայդի (Campanella & Vaid, 1974). а) Առանցքային սեղման ձևափոխության աշխայալուրյան սեղմանը (%-ամ) առանցքային ձևափոխության սեղմանակի (ըստվերեալ) համեմատությամբ. 1—ստանդարտ իրարրապիկ եռապահպակին փորձարկում. 2—չափած ձևափոխած փորձարկում. 3—փորձարկում կոզմիային ձևափոխությունների բացակայության դեպքում. 4—ստանդարտն. 5—երկրորդային. 6—երրորդային. 7—բարյայում. 8—ձևափոխության նվազագույն արագության կետը

Fig. 9. Different expressions of creep-rupture curves published by Campanella & Vaid (1974).

ние, приведенные в различных публикациях. Большая часть точек расположена в области 95% доверительных пределов, предложенных Сaito и Uezawa (Saito & Uezawa, 1961).

К тому же данные Морлье относятся к горным породам. Интересно, что поташ (potassium) не выходит из этих пределов, в то время как мел оказался значительно ниже этого предела. С другой стороны алюминиевые сплавы оказались существенно выше области грунтов, но параллельно этой области. Отсюда можно заключить, что длительность жизни ползучести-разрушения больше для тягучих материалов (металлы) и короче для хрупких (горные породы).

#### РЕОЛОГИЧЕСКАЯ ИНТЕРПРЕТАЦИЯ ПОЛЗУЧЕСТИ-РАЗРУШЕНИЯ ГРУНТОВ

В последнее время теорией кинетических процессов объясняются многие явления ползучести грунтов, и существует опасность возникновения иллюзии, что все явления ползучести, включая характеристики ползучести-разрушения, могут быть объяснены этой теорией.

Возможно, что это справедливо в области первичной и вторичной ползучести, но имеется много вопросов в области третичной ползучести, которые не могут быть объяснены теорией кинетических процессов. Точнее говоря, еще не создано теории, которая была бы в настоящее время применима к области третичной ползучести.

Прежде всего, является весьма спорным предположение, что грунт разрушается вскоре после того, как его смещение достигает определенной величины, как это утверждают Мураяма и Шибата (Muraoka & Shibata, 1951, 1956) и Вялов, Маслов и Караполова (Vyalov et al., 1977). Существенно, что свойства материала делятся на две категории: нечувствительные и чувствительные по отношению к структуре

Рис. 10. Различные выражения кривых ползучести—разрушения по Бишопу (Bishop, 1966). а) Логарифм скорости осевой деформации в % в день по сравнению с осевой деформацией в %; б) осевая деформация в % по сравнению с логарифмом времени в минутах, днях; в) осевая деформация в % по сравнению с временем в минутах; 1—разрушение; 2—проточка минимальной скорости деформации.

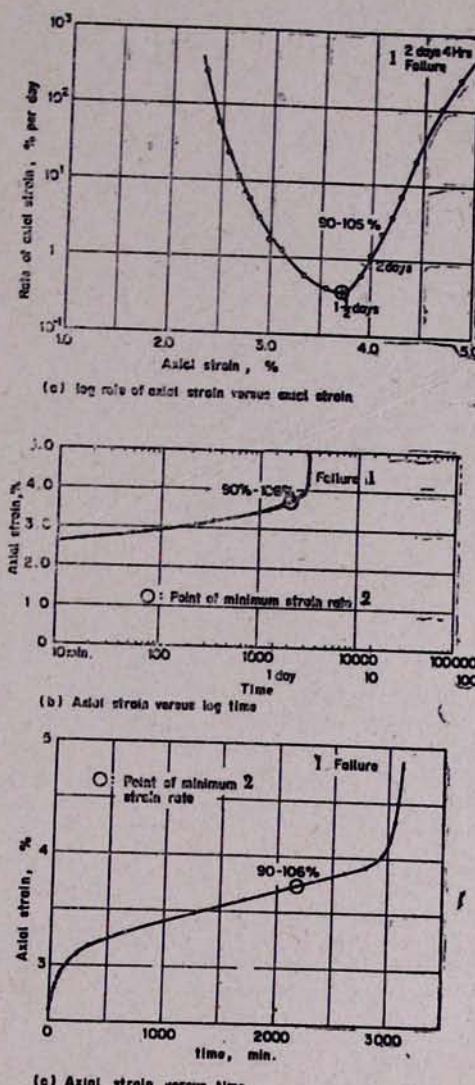
Fig. 10. Упф-ұғының қарғадылығы шағындағы түрліліктер (Bishop, 1966): а) 1-шамасынан түрліліктер (түрлілік осеві деформация (%-негізгі оған) жағдайда) осеві деформация (%-негізгі) біздеңімшаша, б) 1-шамасынан түрліліктер (%-негізгі) осеві деформация (%-негізгі) дәмділімшаша (ганағанда, отвегінде) индикаторлардағы біздеңімшаша. с) 1-шамасынан түрліліктер (%-негізгі) біздеңімшаша дәмділімшаша (ганағанда, отвегінде). 1—раяршының, 2—дәмділік жиынтықтың ұзақшылықтарының қыстасы.

Fig. 10. Different expressions of a creep-rupture curve published by Bishop (1966).

Частицы грунта. Первые вызваны совместным действием составных частей материала—атомов, молекул и частиц, например, коэффициент упругости, Пуассоново отношение, удельный вес или коэффициент термического расширения. Вторые не вызваны совместным действием составных частей материала, но обусловливаются сильным влиянием таких дефектов, как дислокации, вакансии или трещины, достаточно великих по сравнению с размерами составных частей, как например, сопротивление сдвигу, пластичность или водопроницаемость.

Деформация является нечувствительным к структуре свойством, тогда как сопротивление разрушению—чувствительным. Если бы разрушение определялось в соответствии с деформацией, то предел деформации был бы в некотором отношении равномерным, но разрушение не может происходить при тех же самых деформациях, поскольку оно означает окончательное и макроскопическое состояние разъединения.

Далее, имеется очень немного примеров кривых время—деформация в третичной области ползучести. Они должны выражаться формулой, связывающей деформации или перемещения со временем. Поскольку эта формула должна быть формулой ползучести или области третичной ползучести, необходимо, чтобы величина деформации или перемещения принимала бесконечное значение за ограниченное время. Если применяется такая формула ползучести, при которой деформация или смещение конечны за ограниченное время, то разрушение должно определяться деформацией, а это слишком произвольно и далеко от действительности.



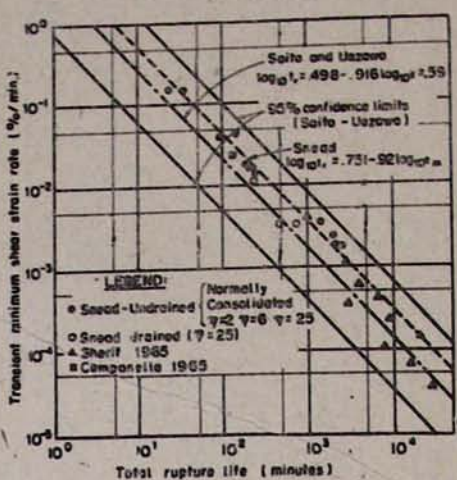


Рис. 11. Соотношение между неустановившейся минимальной скоростью деформации сдвига в % в минуту и полной длительностью разрушения в минутах по Финну и Снейду (Finn & Snead, 1973).

Ч. 11. Ушінгіл ақалғынан тұрғызған баштапқылардың 90%-дегенде гауыттар, дінекарлардың тұрғызған баштапқылардың тұрғынан тәжірибелер (гауыттар) негізде Финн және Снейд (Finn & Snead, 1973).

Fig. 11. Relation between transient minimum shear strain rate and total rupture life published by Finn & Snead (1973).

Экспериментальная формула Сингха и Митчела (Singh & Mitchell, 1969)

$$\dot{\epsilon} = A e^{aD} \left( \frac{t_1}{t} \right)^m \quad (5)$$

а также формула Вялова, Маслова и Карауловой (Vyalov & al., 1977)

$$\gamma = \gamma_0 + \frac{\tau}{\tau_0 [1 - n(\tau)]} \left[ (t+1)^{1-n(\tau)} - 1 \right] \quad (6)$$

не пригодны для предсказаний в области вблизи разрушения, так как они не дают бесконечной деформации или перемещения за ограниченное время.

В противоположность этим формулам моя экспериментальная формула (3) или

$$\dot{\epsilon} = \frac{A}{t_r - t} \quad (7)$$

дает бесконечную деформацию и скорость деформации за ограниченное время и может описать вид кривой ползучести, близкий к реальным перемещениям до момента разрушения. Поэтому эта формула может быть успешно применена для предсказания времени разрушения.

#### СЛУЧАИ ДЕЙСТВИТЕЛЬНОЙ НЕУСТОИЧИВОСТИ СКЛОНОВ

##### Оползни, произошедшие после длительной ползучести

Оползень Такабаяма на линии Ийяма. Я докладывал на Московском конгрессе в 1973 г. об оползне Такабаяма, который произошел в январе 1970 г., но я хотел бы еще раз описать этот случай, так как время обрушения было объявлено до катастрофы и оказалось в хорошем соответствии с действительным временем обрушения (Saito & Yamada, 1973).

Туннель Такабаяма расположен на линии Ийяма, ЯГЖД (рис. 16). В апреле 1969 г. в туннеле были обнаружены необычайные деформации, после чего непрерывно производились тщательные наблюдения. В ноябре на склоне над центральной частью туннеля была обнаружена длинная трещина растяжения; для измерения относительных движений поперек трещины были установлены тензометры. В середине декабря сильный снегопад разрушил все измерительные приборы, установленные на поверхности грунта; затем были вновь уста-

Рис. 12. Соотношение между установившейся скоростью ползучести  $\dot{\epsilon}_s$  в мин $^{-1}$  и длительностью разрушения  $t_r$  в минутах по Курихара (Kurihara, 1972).

Կ. 12. Աղբի հաստաված աշազգորյան (ըսպի-1-ամ) և բայցայնական (ըսպի-երրորդ) հաշարելուրյանք ըստ Կուրիհարա (Kurihara, 1972),

Fig. 12. Relation between steady-state creep rate and rupture time published by Kurihara (1972).

новлены подземные тензометры дистанционного действия, и наблюдения были возобновлены 31 декабря 1969 г.

Предсказание времени обрушения было произведено двумя способами—путем оценки по переменной скорости деформирования и путем графического анализа по заменяющей логарифмической кривой в области третичной ползучести. Эти методы показаны на рис. 17 и 18, соответственно. 21 января в 5 ч. пополудни официально было объявлено о том, что склон обрушится предстоящей ночью или до рассвета. Оценка времени обрушения исправлялась через каждый час. В полночь было сделано окончательное объявление о том, что оползень произойдет в ночь на 22-е в 1 ч 30 мин, в соответствии с анализом третичной области ползучести. Склон над туннелем Такабаяма начал разрушаться в 1 ч 24 мин и смещение прекратилось через две минуты. Разница между предполагаемым и действительным временем разрушения составила только 6 мин. Говорили, что это не что иное, как чудо.

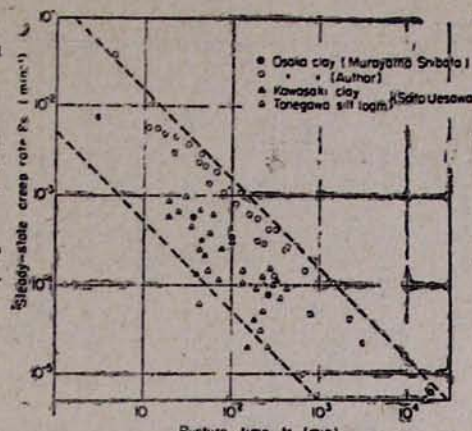
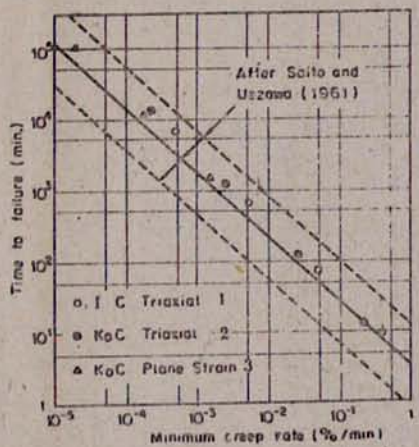


Рис. 13. Соотношение между временем до разрушения в минутах и минимальной скоростью ползучести в % в минуту, по Секигучи (Sekiguchi, 1977). 1—изотропное стандартное испытание; 2—трехосное консолидированное испытание при отсутствии боковых деформаций; 3—консолидированное плоскодеформированное испытание при отсутствии боковых деформаций.

Կ. 13. Մինչև բայցայնական (ըսպի-երրորդ) և սողմի հաշարելուրյանք (%-երրորդ ըսպի-երրորդ), հաշարելուրյանք ըստ Սեկիգучի (Sekiguchi, 1977): 1—ստանդարտ իզոտրոպիկ փորձարկում. 2—եռանցքային կոնսոլիդացված փորձարկում՝ կողմնային ձեմփինդիլաների բացակայության դեպքում. 3—կոնսոլիդացված ճարթձեմփուլսայի փորձարկում՝ կողմնային ձեմփուլսայի դեպքում:

Fig. 13. Relation between time to failure and minimum creep rate published by Sekiguchi (1977).

На рис. 19 показана кривая перемещений, построенная путем соединения при приемлемых допущениях двух кривых, полученных до и после снегопада в декабре. По трем значениям скорости ползучести, вычисленным по кривой, полученной до снегопада, можно было предположить, что разрушение может произойти между 30-м и 60-м днем после 13 декабря, т. е. между 10 января и 10 февраля.



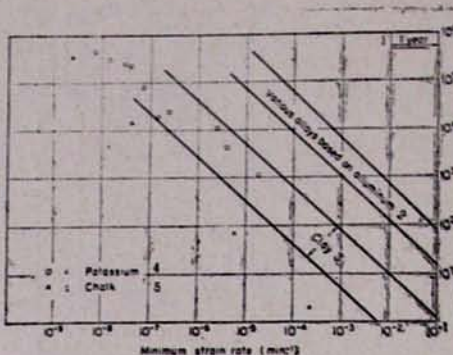


Рис. 14. Соотношение между минимальной скоростью деформации в мин<sup>-1</sup> и временем до разрушения в минутах по Морлье (Morlier, 1964). 1—один год; 2—различные сплавы, основанные на алюминии; 3—глина; 4—поташ; 5—мел.

նկ. 14. Ամփոփարյան եվազագույն արագության (ըսպի-<sup>-1</sup>) և միջին հայքայինը (ըսպին-<sup>0</sup>) համապատակ հարաբերությունն ըստ Մորլի (Morlier 1964). 1—մեկ տարի. 2—պայմանավոր վրա հիմնված տարրեր համապատակածքներ. 3—կալ. 4—պոտաշ. 5—կալին:

Fig. 14. Relation between strain rate and rupture time published by Morller (1964).

*Оползень Агояма в городе Фукуи.* Примерно в 5 км к северо-западу от г. Фукуи на месте старого оползня в декабре 1972 г. произошел оползень Агояма около 200 м шириной, 80 м высотой и протяженностью 180 м по длине склона. Это движение было вызвано извлечением земли из карьера у подножья склона. Коренные породы состоят из туфистых песчаников третичного возраста; предполагается, что поверхность скольжения приурочена к тонкозернистому слою песчаников.

4 октября 1972 г. была обнаружена длинная непрерывная трещи-

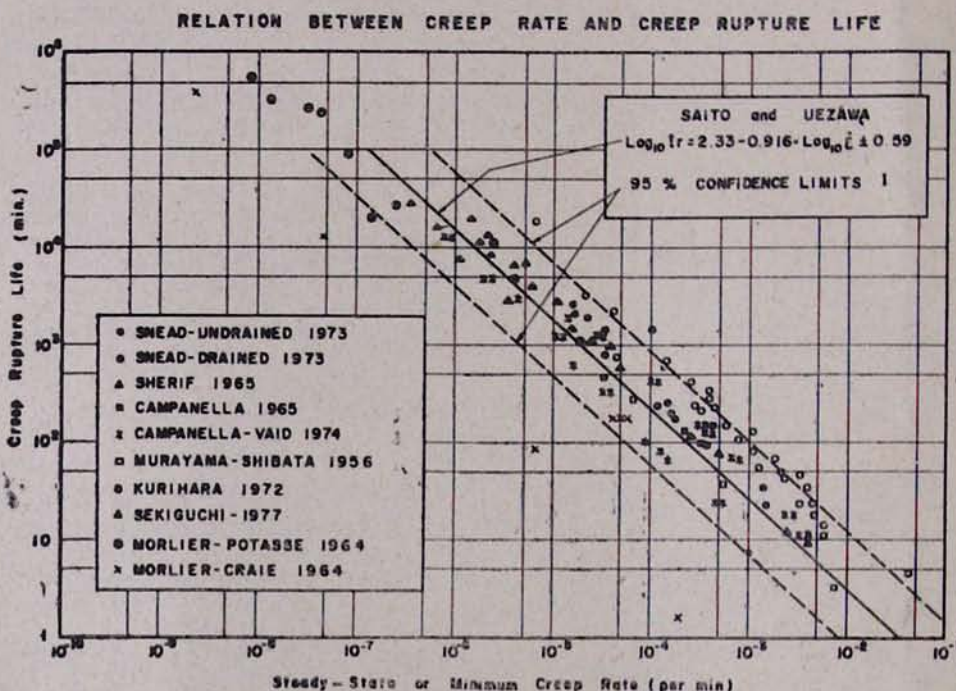


Рис. 15. Сводный график, показывающий соотношение между установленшейся скоростью ползучести или минимальной скоростью ползучести в мин<sup>-1</sup> и длительностью ползучести—разрушения в мин; I—доверительные пределы 95%.

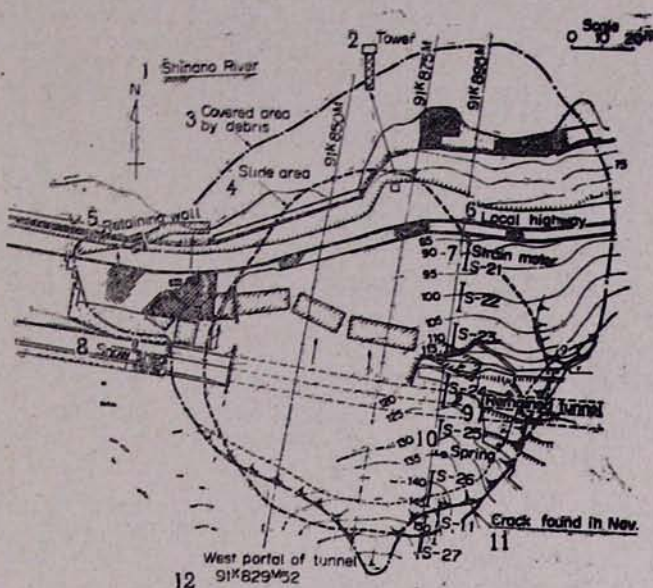
նկ. 15. Ամփոփի գրաֆիկ, որը ցույց է տալիս սողմի եպատափակած արագության (ըսպի-<sup>-1</sup>) և սողմի-խորան անդորրյան (ըսպին) հարաբերությունը 1—95%-ներ վատանգած սահման:

Fig. 15. Compiled relationship between creep rate and creep-rupture life.

Илл. 16. План оползня Такабаяма. 1—река Шинано; 2—шашни; 3—площадь, покрытая заносами; 4—оползневая территория; 5—подпорная стена; 6—местная шоссейная дорога; 7—тезометр; 8—снеговой навес; 9—сохранившийся туннель; 10—родник; 11—трещина, обнаруженная в ноябре; 12—западный портал туннеля.

Илл. 16. Տակաբայամա սողանքի լանգ: 1—Շինանո գետը, 2—աշտարակ, 3—ընթափածներով ժամանակավածք մակերեսն, 4—սողանքային հաղանքներ, 5—հենապատ, 6—տեղական խճողի, 7—տեղադուեար, 8—ցածր ծածկավածք, 9—պահանջանակ, 10—աղբյուր, 11—նոյեմբերին հայտնաբերված եղովածք, 12—թունելի արևմրտական ճակատավուտը:

Илл. 16 Plan of Takabayama landslide.



ств на склоне Агояма; наблюдения были начаты 7 октября после установки измерительных инструментов. Вначале движение составляло 00 мм в день, но затем, постепенно ускоряясь, к концу октября достигло 20 мм в день, а после ноября—100 мм в день. Расчеты по предсказанию времени обрушения были выполнены в Токио, примерно на расстоянии 400 км от оползня, и их результаты были сообщены по телефону должностному лицу.

Полученный анализ области третичной ползучести показан на

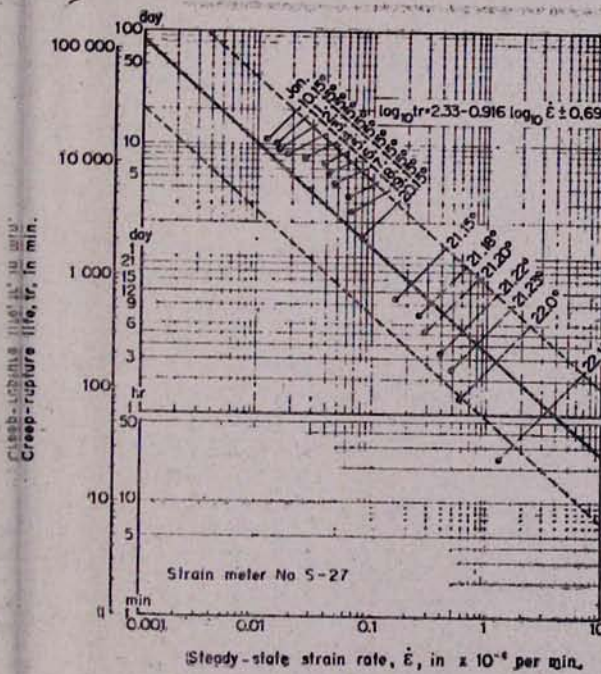


Рис. 17. Надежность прогноза времени обрушения, основанного на графике прогноза, в случае применения неуставновившейся скорости деформации для оползня Такабаяма. Абсциссы—установившаяся скорость ползучести  $\dot{\epsilon} \times 10^{-4}$  мин $^{-1}$ , ординаты—длительность  $t_f$  ползучести—разрушения в минутах; тензометр S-27.

Илл. 17. Տակաբայամա սողանքի նախագծային ժամանակի կանխագույնական հուսափությունը, եթենայած կանխագույնական գործիքի վրա ձեռփոխման ընթատաված արագության դեպքում: Արացներ—սողանքատվածքավածք  $\dot{\epsilon}$  արագություն  $\times 10^{-4}$  րոպե $^{-1}$ -ում, օրդինատներ—սողանքաման տեղադույն բողնիները. տեղադույնը S-27:

Fig. 17. Reliability of forecasting failure time based on forecasting diagram in case of using transient strain rate, Takabayama landslide.

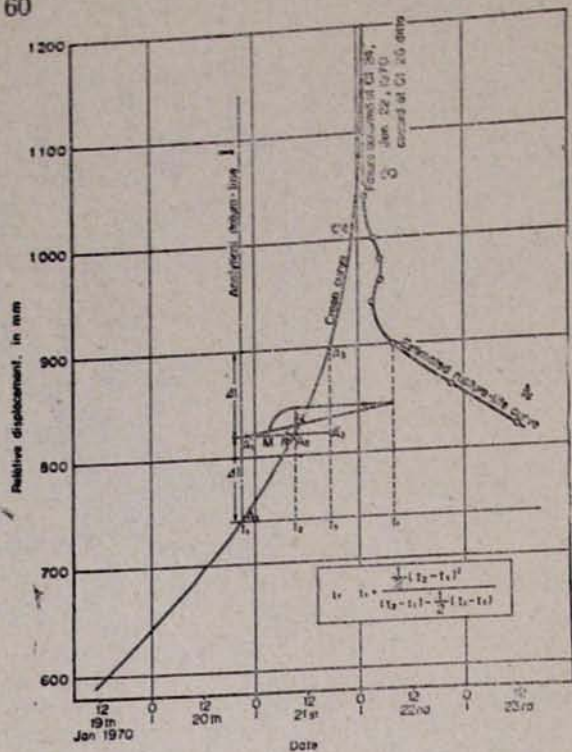


Рис. 18. Прогноз времени обрушения в области третичной ползучести с помощью графического анализа для оползня Такабаяма. Абсциссы—даты, ординаты— относительные смещения в мм; 1—аналитический базис; 2—кривая ползучести; 3—обрушение произошло 22 января 1970 г. в 01 ч 24 мин, прекратилось в 01 ч 26 мин; 4—вычислена кривая длительности обрушения.

Նկ. 18. Տակաբայամա սողանքի համար վիմակ ճամանակի խախազչական երրացված սողոյի պիտույքայի գառափիկական վերլուծական օգնությամբ: Արցիսներ—ամսաթիվ, օրդինատներ—հարաբերական տեղաշարժ մմ-ով. 1—անալիտիկ բազիս. 2—սպազի կորպագիծ. 3—քայլայումը կատարվեց 1970 թ. հունվարի 22-ին 01 ժամ 24 րոպեին, ավարտվեց 01 ժամ 26 րոպեին. 4—վիմակ տեղաթիւան հաշվարկված կորպագիծ:

Fig. 18. Forecasting failure time by means of graphical analysis in the tertiary range, Takabayama landslide.

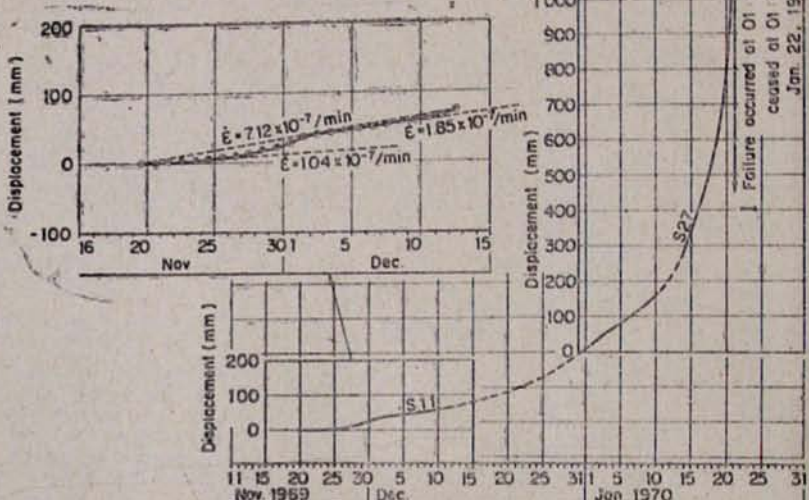


Рис. 19. Прерванная кривая относительного смещения оползня Такабаяма, соединенная при известных предположениях. Абсциссы—даты, ординаты—смещения в мм; 1—обрушение произошло 22 января 1970 г. в 01 ч 24 мин, прекратилось в 01 ч 26 мин. Նկ. 19. Տակաբայամա սողանքի համար նաշարեական տեղաշարժը բնիկաված կորպագիծ, որին միացված են ենթադրույթայի: Արցիսներ—ամսաթիվ, օրդինատներ—տեղաշարժ մմ-ով. 1—վիմակ տեղի ոնեցավ 1970 թ. հունվարի 22-ի 01 ժամ 24 րոպեին և ավարտվեց 01 ժամ 26 րոպեին:

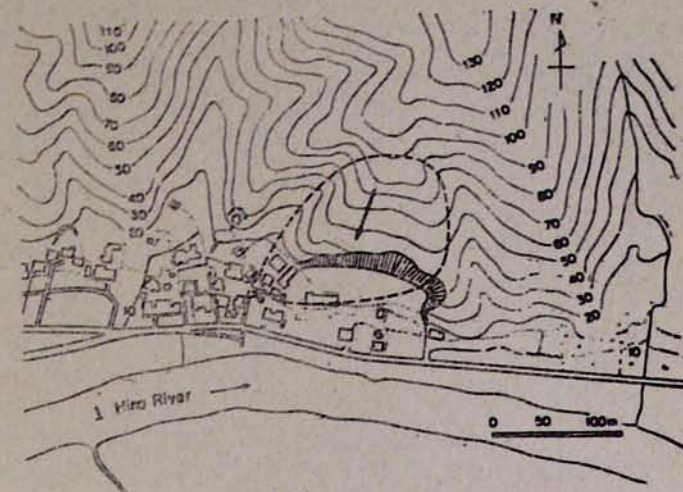
Fig. 19. Relative displacement curve interrupted but connected under acceptable supposition, Takabayama landslide.

2 в. 20. План оползня  
агоюма. 1—река Хино.

2 в. 20. Աղոյամի ալպանի  
դաշտավայր: 1—Հինո գետ:

2 в. 20. Plan of Agoyma  
landslide. 1—Hino River.

рис. 21; было предположено, что обрушение произойдет в конце ноября. Но отто предположение оказалось отвергнуто в результате неравномерных движений в последней стадии; затем для получения линейности кривой ползучести



вместе с графическим анализом был принят метод построения полулогарифмического графика как показано на рис. 22. Было нелегко добиться линейности кривой ползучести, поскольку она оказывала непрерывное искривление. Согласно последнему предсказанию, сделанному вечером того же дня, обрушение должно было произойти 1 декабря в 20 ч 30 мин; произошло же оно 2 декабря в 20 ч 30 мин. Позже было установлено, что это расхождение явилось следствием того, что движение всей массы остановилось и обрушилась всего одна треть массы, как это видно из рис. 23 (Watari, 1973).

*Обрушение крутого склона приозерной дороги Тама.* В июле 1976 г. произошло обрушение части склона объемом 9500 м<sup>3</sup> у приозерной дороги Тама, примерно в 70 км к западу от Токио (рис. 24). Коренные породы состоят главным образом из юрских сланцев, частично содержащих песчаник, рассланцованных при сдвиге и измененных глин. Рассматриваемый склон имеет 70 м по падению и наклон 0,6 : 1.

Признаки неустойчивости склона были обнаружены 13 июня 1976 г. В верхней части склона в пяти пунктах были установлены измерительные точки поперек трещин растяжения. 14 числа начались наблюдения за изменением расстояния между измерительными точками.

Графический анализ области третичной ползучести показан на рис. 25. 18 июня в 10 ч утра было предсказано, что обрушение склона произойдет через 12 ч. Обрушение произошло в 21 ч 30 мин того же дня. Разница составляет ровно полтора часа и свидетельствует о хорошем прогнозе (Hasegawa & Kluchi, 1977).

В статье, опубликованной в одном из технических журналов, указывалось, что предсказание было произведено по моему методу, хотя я и не имел отношения к работе по прогнозу.

*Оползень Юнотай на линии Эсаши.* В апреле 1975 г. произошел оползень объемом 40 тыс. м<sup>3</sup> на участке между Юнотай и Милякоши на линии Эсаши, ЯГЖД (рис. 26). Железнодорожное полотно на протяжении 117 м было завалено земляной массой высотой около 10 м и объемом 20 тыс. м<sup>3</sup>; движение было прервано на 19 дней. Коренные породы состоят из алевролита миоценового возраста; участок рассматривается как древняя оползневая область.

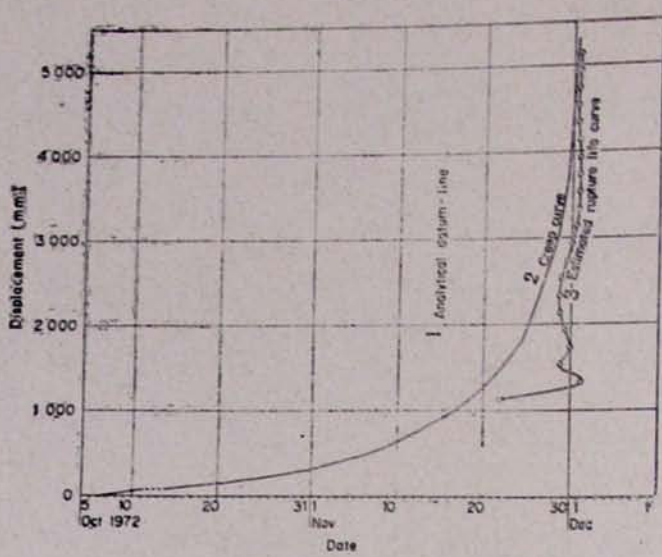


Рис. 21. Кривые ползучести и прогноз времени обрушения оползня Агояма с помощью графического анализа. Абсциссы—даты, ординаты—перемещения в мм.  
1—аналитический базис;  
2—кривая ползучести;  
3—вычисленная кривая длительности обрушения.

Նկ. 21. Ազոյամա սովորական տակածականաց աղբի կուրազական փուլան ժամանակական գրաֆիկա կամ վերաբերման օգնությամբ:  
Բյանք: Արցիսիներ—առաջին, օրդինատներ—առաջարձը մմ-ով, 1—ամպականիկ բաղին, 2—սովորական կուրազական, 3—փուլան վերաբերման հաշվարկի կորպաֆիճ:

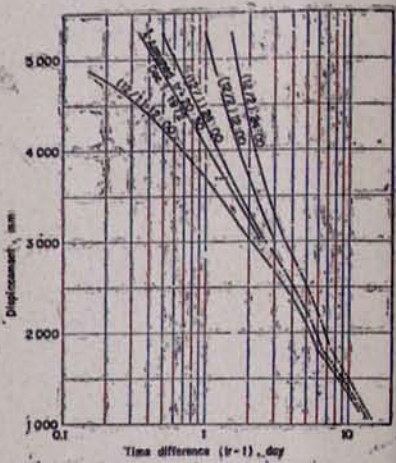
Fig. 21. Creep curve and forecasting failure time by means of graphic analysis, Agoyama landslide.

21 марта над железнодорожным полотном была обнаружена воронка обрушения; затем на поверхности дороги появились многочисленные трещины. 7 апреля склон сместился на железнодорожное полотно, и рельсы оказались смещеными в боковом направлении на 300 мм. Наконец, 9 апреля в 17 ч 40 мин склон обрушился с громким и страшным шумом. На рис. 27 показаны смещения наблюдательных точек на поверхности дороги.

Рис. 22. Прогноз времени обрушения оползня Агояма, основанный на линейности в полулогарифмических координатах. Абсциссы—разность времени ( $t_r - t$ ) в днях; ординаты—перемещения в мм; 1—принято  $t_r = 1$  декабря 1972 г., в 20 ч 30 мин.

Նկ. 22. Ազոյամա սովորական տակածական փուլան ժամանակական կուրազականաց աղբի բիմելած գծայնարյան վրա կիսալոգարիթմական կոորդինատներում: Արցիսիներ—ժամանակական ( $t_r - t$ ) տարրերությունը օրերով, օրդինատներ—առաջարձը մմ-ով: 1—ընդունվածէ  $t_r = 1$  1972 թ. զեկումբերի 1, 20 ժամ 30 րոպեի:

Fig. 22. Forecasting failure time based on linearity on semilogarithmic coordinates, Agoyama landslide.



Кривые ползучести показывают, что склон находился в области вторичной ползучести до 6 апреля, а затем наступила область третичной ползучести. В полночь на 8 апреля было сделано предположение, что обрушение произойдет на одиннадцатый день, но в 10 ч 45 мин девятого дня, после последнего наблюдения, предсказали, что обру-

Рис. 23. Окончательно обрушившаяся территория оползня Агояма. 1—область старого оползня; 2—область нового земляного потока.

Ակ. 23. Ագոյամա սովանելի վերջնական փլամակը: 1—հին սովանելի տիրույթ. 2—նոր հողահոսքի տիրույթ:

Fig. 23. Finally failed area of Ago yama landslide.

шение наступит на девятый день в 18 ч 10 мин. Вопреки этому предсказанию обрушение произошло на девятый день в 17 ч 40 мин, на 30 мин ранее предполагаемого срока (Saruta & Ishibashi, 1976).

В этом случае я также не имел отношения к работе по прогнозу.

*Оползни, окончательно остановившиеся после быстрого движения*

*Оползень на обменном пункте Кашивара на скоростной автодороге Нишимейхан.* В конце апреля 1969 г. появились признаки неустойчивости на зданиях больницы, стоящей на плоской площадке на склоне (рис. 28). Положение стало опасным с появлением многочисленных трещин на всей территории. Подобные же трещины были обнаружены на главных путях, подъемах и подпорных стенах скоростной дороги Нишимейхан. Постепенно выявилось, что размеры неустойчивой территории составляют около 250 м в ширину и 250 м по длине склона; эта площадь стала рассматриваться как возобновившиеся древние оползни.

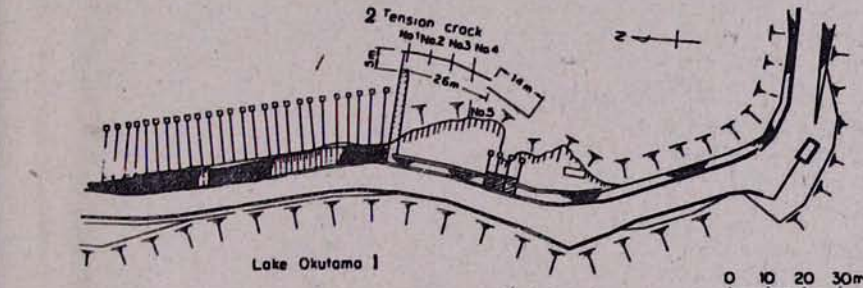
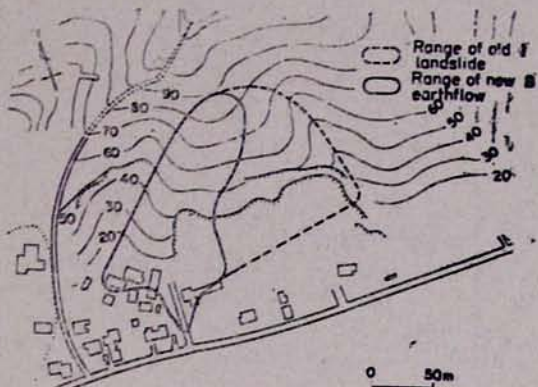


Рис. 24. План поврежденной территории вдоль приозерной дороги Тама. 1—озеро Окутама; 2—трещина растяжения.

Ակ. 24. Տամայի լիճից յանապարհի երկայենքով վճառված տեղանելի պլամը: 1—Օկուտամա լիճ. 2—ձգման ճնշվածքը:

Fig. 24. Plan of damaged area along Tama Lakeside road.

Исследования и наблюдения были начаты в конце мая. Охваченная оползнем территория распространилась на национальную автодорогу и пригородную железнодорожную линию, расположенные ниже по склону. Оползневые движения постепенно увеличивались; так, тензометр № 45 А показал смещение 470 мм за 40 дней с 4 июня по 16 июля, а максимальное дневное смещение—24 мм наблюдалось 13 июня.

Быстрые смещения продолжались довольно долгое время, как

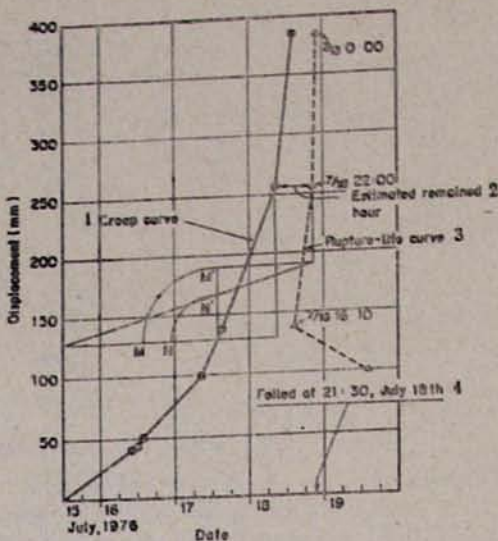


Рис. 25. Прогноз времени обрушения склона вдоль приозерной дороги Тама. Абсциссы—даты, ординаты—смещения в мм; 1—кривая ползучести; 2—вычисленный оставшийся час; 3—кривая времени обрушения; 4—обрушение произошло 18 июля в 21 ч 30 мин.

նկ. 25. Տամայի լճափայ նախապահե երկայեն լանջի վրան կախվածականը: Արցիսեներ—ամսաթիվ, օրդի նաևներ—տեղաշարժ մմ-ով. 1—սոցի կորագիծ. 2—հաշվարկված մնացած ժամ. 3—վրան ժամանակի կորպագիծ. 4—վրումը հուլիսի 18-ին 21 ժամ 30 րոպեին:

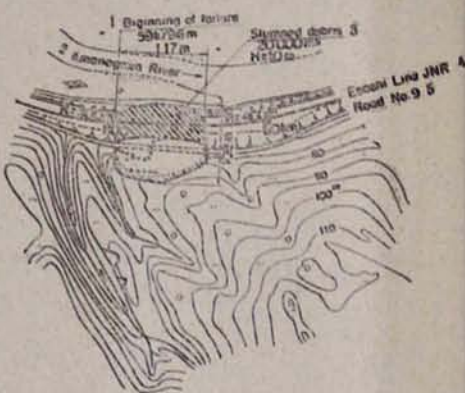
Fig. 25. Forecasting failure time by means of graphical analysis, slope failure along Tama Lakeside road.

показано на рис. 29, а затем движение постепенно стало уменьшаться. С целью дренирования склона с конца июня производилось горизонтальное бурение, и в результате удаления воды движение практически прекратилось к 10 июля (Tokuno & Tatsutomi, 1971).

Рис. 26. План оползня Юнотай. 1—начало обрушения; 2—река Аманогава; 3—оползшие массы; 4—линия национальной железной дороги Есами; 5—дорога № 9.

նկ. 26. Յոնոտայի սովանի պլանը: 1—փլան սկիզբը. 2—Ամանոգավա գետը. 3—օպ զնաբարձին զանգվածներ. 4—աղղային երկաթուղու ենաշի զիծը. 5—ճանապարհ № 9:

Fig. 26. Plan of Yunotai landslide.



Вычислим максимальную скорость деформации. База тензометра № 45 А равна 15,54 м, поэтому движению 24 мм в день соответствует скорость деформирования  $1,07 \times 10^{-6}$  в минуту. Эта величина не очень большая, но ею нельзя пренебрегать. Если бы движение с такой скоростью непрерывно продолжалось, то согласно моему методу склон обрушился бы через 9,5 дня. Исходя из того факта, что скорость деформации не превзошла этой величины, предположили, что оползень относится к такому типу оползней, которые в конце концов останавливаются без обрушения.

Оползень Ивадонояма у Отсуки на центральной скоростной автомобильной дороге. На оползневом участке Ивадонояма во время строительства дважды произошло обрушение склона. Коренные породы состоят из чередующихся туфа, шлакового туфа, туфобрекчий и туфопесчаника миоценового возраста, с дайками андезита; напластование падает в

Рис. 27. Развитие смещения дороги на оползне Юнотаи. Абсциссы—даты, ординаты—перемещения в мм; 1—прекращение движения поездов в 14 час 15 мин; 2—обрушение произошло в 17 час 40 мин.

նկ. 27. Համապատակ ավագայի ամերիկական առաջարկություն: Արևադարձը՝ ամսաթիվ, օրվանականը՝ անդաշարժ մմ-ով. 1—զանցը 15 մայ 14 ժամ 15 րոպեին. 2—փլումը 17 մայ 40 րոպեին:

Fig. 27. Progress of displacement of road Yunitai landslide.

глубь склона. Участок представляет собой подрезанный склон с откосом  $32^{\circ}$ . 17 февраля 1972 г. на территории было обнаружено несколько линий трещин, 2 марта была оконтурена оползневая территория размером 60 м в ширину и 90 м по длине склона и наблюдалось увеличение трещин (рис. 30). Наблюдения с помощью тензометров из инварной проволоки были начаты 24 февраля. После этого соответственно расширению оползневой территории были добавлены дополнительные тензометры; были установлены также дистанционно записывающие тензометры у нижней или верхней краевых трещин на случай внезапного возникновения опасной ситуации.

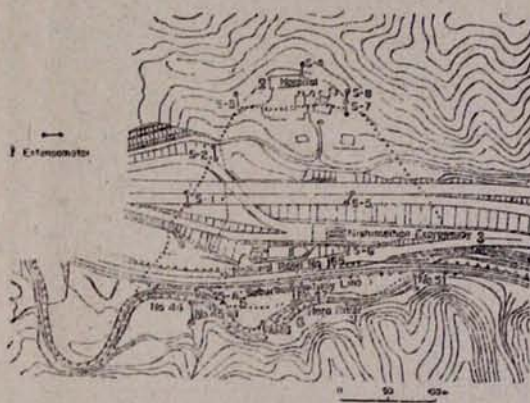
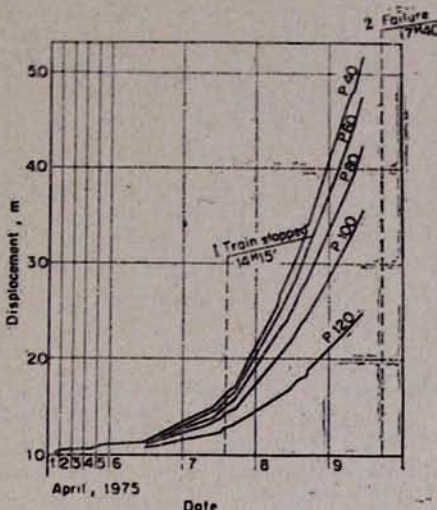


Рис. 28. План оползня у обменной станции Кашивара. 1—тензометр; 2—госпиталь; 3—скоростная дорога Нишимэйхан; 4—национальная дорога № 165; 5—пригородная железнодорожная линия; 6—река Хара.

նկ. 28. Կաշիվարայի վոլոսանկածի կայսերական առաջարկություն: 1—տեղագույն տեղագույն պահական պահական: 2—հիվանդանուության հաստիքայի հանապարհ: 3—Նիշիմայի ճանապարհ: 4—ազգային ճանապարհ № 165. 5—մերձքաղաքային երթուղի: 6—Հարա գետը:

Fig. 28. Plan of landslide at Kashiwara Interchange.

Как показано на рис. 31, начиная с 21 марта смещения стали быстро увеличиваться, а 26 марта неустановившаяся скорость деформирования достигла  $6,14 \times 10^{-6}$  в минуту. С другой стороны, согласно графическому анализу области третичной ползучести предполагалось, что ситуация настолько серьезна, что обрушение произойдет через полтора дня. Однако вскоре выяснилось, что несмотря на наши опасения скорость деформирования не превзошла этого значения, и склон стабилизовался без обрушения (Harada, 1972).

Как видно из данного случая, имеется много примеров того, что склон не обрушивается, и движение прекращается, даже если в области третичной ползучести наблюдается значительное ускорение деформирования. В таких случаях чрезвычайно трудно прогнозировать при нашем уровне знаний, обрушится склон или нет.

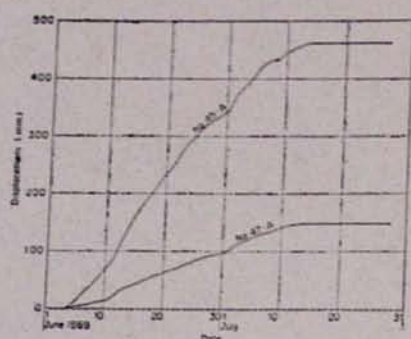


Рис. 29. Развитие смещений пригородной железнодорожной линии на оползне у обменной станции Кашивара. Абсциссы—даты, ординаты—смещения в мм.

Ակ. 29. Ավագանության երկարության կախվածայի փոխանակման կայտն մաս սղանի վրա տեղաշարժմերի զարգացությունը: Արտցիներ—ամսաթիվ, օրդինատներ—տեղաշարժ մմ-ով:

Fig. 29. Progress of displacements of suburban railway line, landslide at Kashiwara Interchange.

### Обрушения типа откалывания

Обрушение вертикальной выемки в глинах в Уэлленде, Канада. Несколько лет назад Д. Кван из Управления морского пути св. Лавренция написал мне, что при полевых испытаниях на обрушение выемки с вертикальными стенками, которые он провел для выпрямления Уэллендского канала, время обрушения, установленное по моему методу, не соответствовало действительному (Kwan, 1971). Я предполагаю, что в подобном случае мой метод предсказания времени обрушения по скорости установившейся деформации не может быть применен, так как тип обрушения представлял собой не скольжение, а откалывание и опрокидывание, ограниченное глубокими трещинами растяжения, и поверхность скольжения появилась только у самой подошвы вертикального откоса.

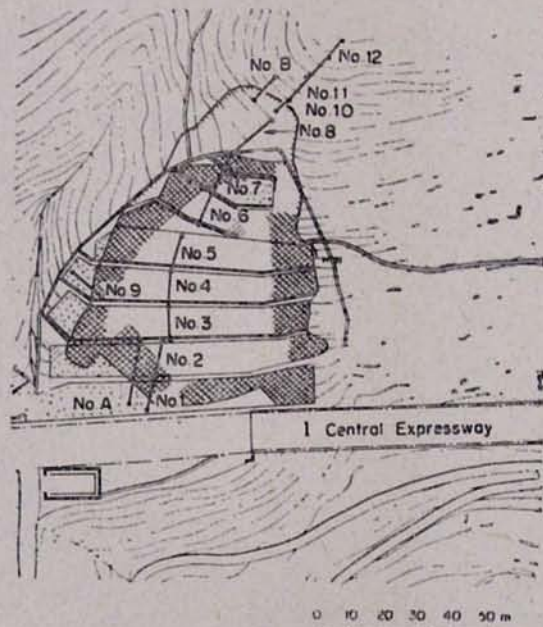


Рис. 30. План оползня Ивадонояма. 1—центральная скоростная дорога.

Ակ. 30. Խվագլուխամայի սղանի պլանը. 1—կենտրոնական ճանապարհ:

Fig. 30. Plan of Iwadonoyama landslide.

Рис. 31. Развитие относительных смещений поперек верховых и низовых трещин на оползне Ивадонояма. Абсциссы—даты, ординаты—смещения в мм (вниз—сжатие, вверх—растяжение); 1—No. B—растяжение поперек верховой трещины; 2—No. A—поперек низового языка; 3—нечисленная кривая длительности разрушения.

Fig. 31. Development of relative displacement crossing over upper or lower cracks, Iwadonoyama landslide.

В данном случае, однако, к результатам испытаний может быть применен графический анализ из области третичной ползучести. Как видно из рис. 32, он дал хорошее соответствие с конечным временем обрушения.

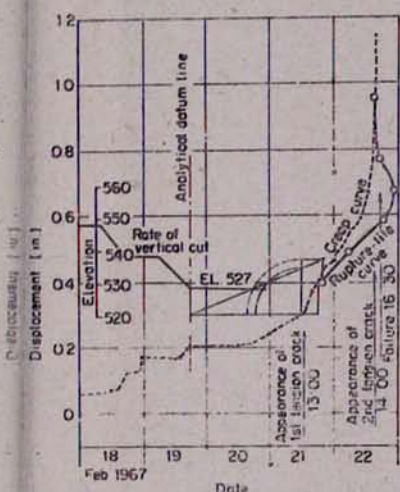


Рис. 32. Графический анализ для прогноза времени обрушения оползня в Уэлленде, Канада.

Нк. 32. Часновременные измерения смещений в вертикальном сечении скального массива в Уэлленде, Канада.

Fig. 32. Graphical analysis for forecasting failure time, Welland, Canada.

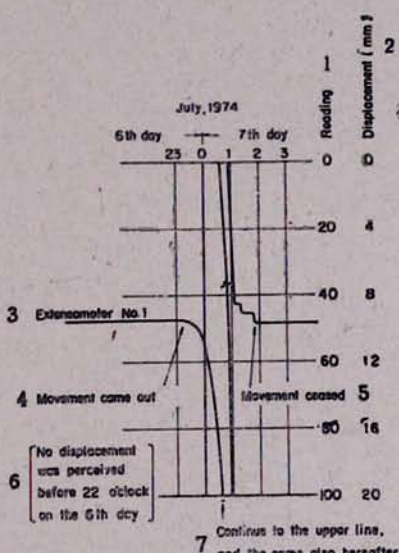
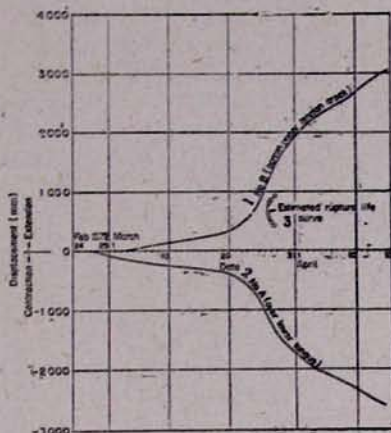


Рис. 33. Развитие смещений на оползне в Хикете. 1—отсчеты; 2—смещения в мм; 3—тензометр № 1; 4—движение началось; 5—движение прекратилось; 6—до 22 часов 6 июля не было замечено никаких смещений; 7—продолжить до верхней линии и повторить еще раз.

Нк. 33. Часновременные измерения смещений в вертикальном сечении скального массива: 1—гигрометрические измерения. 2—изменение длины. 3—тензометр № 1. 4—изменение длины. 5—изменение длины. 6—до 22 часов 6-го июля не было замечено никаких смещений. 7—продолжить до верхней линии и повторить еще раз.

Fig. 33. Progress of displacement, Hiketa landslide.

*Обрушение склонов, непосредственно вызванное дождями*

Оползень Хикета на линии Кётоку. Оползень Хикета на линии Кётоку, ЯГЖД, имеет в ширину 50 м, по длине склона 80 м и поддерживается у подошвы подпорной стенкой. Вследствие тайфуна 1972 г. у верхней бровки появилась трещина растяжения длиной около 60 м и шириной 50 см. Были произведены геологические исследования и установлены тензометры и сигнальные заграждения для охраны территории. Коренные породы представлены довольно выветрелыми и разрушенными песчаниками мезозойского возраста.

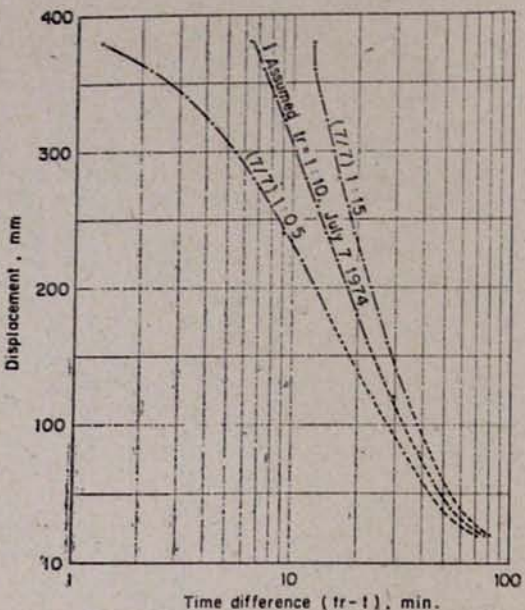


Рис. 34. Прогноз времени обрушения оползня Хикета, основанного на линейности в пологарифмических координатах. 1—принято  $t_r = 7$  июля 1974 г., в 1 ч 10 мин.

Նկ. 34. Հիկետայի սողանքի փրձանակակի կանխագուշակում՝ հիմնված զայնուրյան վրա կիսալոգարիթմական կոորդինատներում: Ըստունքած է  $t_r = 1974$  թ. հուլիսի 7, 1 ժամ 10 րոպե:

Fig. 34. Forecasting failure time based on linearity on semilogarithmic coordinates.  
Hiketa landslide.

Тайфун в июле 1974 г. сопровождался сильным выпадением дождя; общее количество осадков на седьмой день было 378 мм, а наибольшая интенсивность дождя достигла 70 мм в час; в конце концов склон обрушился 7 числа в 1 ч 10 мин (Seikatsu, 1974; Уапо, 1976).

До того, как произошло обрушение, в смотровом домике, расположенному на расстоянии 6 км, начал звонить аварийный колокол, и сторожа, находившиеся в домике, поспешили под проливным дождем к месту аварии. Приблизившись на расстояние 150 м от оползня, они при ярком свете установок увидели, что склон обрушивается. Если бы они прибыли одной или двумя минутами раньше или обрушение склона произошло на одну или две минуты позже, им всем угрожала бы опасность быть погребенными под огромными оползневыми накоплениями.

Запись показаний одного тензометра приведена на рис. 33. Предполагается, что механизм оползневого смещения в случае обрушения склона, вызванного дождями, отличается от механизма обычных оползней, так как условия его проявления непрерывно изменяются. В этом случае не применимы ни метод прогнозирования, основанный на установившейся скорости деформирования, ни графический анализ области третичной ползучести.

Однако экспериментальная формула (3) для области третичной ползучести подсказывает другой метод прогноза, основанный на том,

что если правильно выбрать время разрушения, то измеренные величины, отложенные на полулогарифмическом графике (деформации на логарифмической шкале и  $t_r - t$  на логарифмической) должны лежать на прямой. Результаты применения этого метода показаны на рис. 34. Выбирая этим путем переменную «время до разрушения», было найдено, что обрушение произошло 7 числа примерно в 1 ч 10 мин. Если бы в данном случае была применена такая процедура, то определение времени обрушения было бы очень эффективным. Таким образом, предсказание времени обрушения склона, непосредственно вызванного продолжениями, применимо на основании полулогарифмического представления данных.

### ЗАКЛЮЧИТЕЛЬНЫЕ ЗАМЕЧАНИЯ

Исходя из нескольких случаев, описанных выше, можно заключить, что метод предсказания времени обрушения, основанный на характеристиках ползучести-разрушения, то есть на грубой оценке времени обрушения, базирующейся на установившейся скорости деформирования, более близком определении путем расчета или графического анализа с использованием заменяющей логарифмической формулы и заключительном точном определении, базирующемся на линейности полулогарифмического графика, путем подбора переменной величины «жизнь до разрушения», является эффективным и достоверным. Что касается достоверности, то предсказание может быть сделано в днях, если прогноз делается за несколько дней, и в часах или даже порядка десяти минут, если делается накануне.

\*  
\* \*

Несмотря на то, что я не имел отношения к большей части полевых исследований обрушения склонов, приведенные данные непосредственно демонстрируют достоверность метода предсказания. Я высоко ценю возникшую возможность дать этому методу практическое применение.

Я хочу выразить сердечную признательность проф., д-ру техн. наук Г. И. Тер-Степаняну, который убедил меня представить эту статью. Хочу также выразить искреннюю признательность сотрудникам Корпорации, в особенности ее председателю д-ру наук Л. Фукада, президенту д-ру наук К. Суяма и заместителю начальника технического отдела С. Охия, за сотрудничество.

**ԱՆՁԵՐԻ ՓԼՎԱԾՔԻ ԿԱՆԱԳՈՒՇԱԿՈՒՄՆԵՐԻ ԴԵՊՔԵՐԻ  
ՓԱՍՏԱԿԱՆ ՎԵՐԱՌՈՒՄՆԵՐԸ**

Դոկտ.— ինժ. Միջիտակա Սահմուլ

Խ մ ր ա գ ր ի կ ո դ մ ի ց. Խեծեներական երկրաբուրյան բնագավառում վերշին ժամանակագրման հաջողություններից մեկն էր ձագանիայում Տակարայամա սողանքի շտփազանց սուսուց կանխագուշակումը, որը կատարված էր 1969 թ. դոկտ.— ինժ. Միջիտակա Սահմուլի կողմից. աղետի ժամանակը կանխագուշակված էր բնագավառում 6 րապես սխալով: Այդ սպասեմի և լաճի դրվագի ժամանակի կանխագուշակման եղանակի մասին նակիրն՝ տեղեկությունները լույս տեսան անցելեն և նապահերեն մի ժամկ հաջորդական երաշտարակուրյուններում: Սողանքների կանխագուշակման կարևոր եղանակագույքը պատճառով եւ օգովիցի ժա-

<sup>1</sup> Պուաներենից թարգմանեց Սվետլանա Միմոնյանը:

<sup>2</sup> ΟΥΟ Կորպորացիայի դիրեկտոր և գլխավոր ինժեներ, Σπάκη, Δ'ապոնիա:

պահական սողանքային ընկերության բարձրեց՝ այցելել 1977 թ. ճապոնիա՝ դասախոսաւրյաններ կարգալու և այնող խնդրեցի դպիս. ինձ. Մ. Սահմանին պատրաստել ավելի բնդարձակ մեջված, ճապոնիայում կիրառվող սողանքները կանխագուշակելու եղանակների մասին «Գեղամիանիայի պրարբեմներ»-ում նշանաւակելու նպատակավ: Դժվար. — ինձ. Մ. Սահմանը շատ սիրով նեւան ուղարկեց խոստացած հոգվածն անզվեն, որը և մտավ 1978 թ. նշանաւակման նախանախաված ծողովածով մեր: Այդ ընթացքում, խմբագրի բայցավորյամբ, դոկտ.-ինձ. Մ. Սահման նշանաւակեց նշված հոգվածը Կորպարացիայի աշխատարյունների ժողովածու՝ «ΟΥΟ Technical Report» մեջ անզվեն, նապաներեն՝ նակրին բավանդակուրյամբ, նամապատակախման ծանրությունով (Saito, 1979): Հաշվի տանելով այդ նանգամանքը, զամանակի նպատականամար դպիս. — ինձ. Սահմանը հոգվածը նշանաւակել ուսւեն լեզվակարգությամբ, հայերեն և անգլերեն համին բավանդակուրյամբ:

Գեղագ Տեր-Սահմանյան

**Ռե ֆերատ.** Հոգվածում տրվում է լանչերի փլվածքի կանխագուշակման երկը գործողություններ. դրանք են. 1) կոպիտ զնամատում՝ հիմնված սոզքի երկրորդական շրջանում ձևափոխության հաստատված արագության վրա, 2) մոտավոր զնամատում՝ հաշվարկի կամ գրաֆիկական վերլուծման եղանակով, օգտագործենով՝ փոխարինադ լոգարիթմական բանաձեռ, 3) վերջնական ճշգրիտ ժամանակի հաշվարկ հիմնված զեֆորմացիայի և մինչև բայցբայումը ժամանակի հարաբերության կիսալոգարիթմական գրաֆիկի գծայնության վրա: Դիտելով ուսումնաբությունների մի քանի զեպքեր, կարելի է ասել, որ փլվածքի ժամանակի կանխագուշակումը՝ հիմնված սոզք-խզման ընութագրությունների վրա, արդյունավետ է և հուսալի:

Կանխագուշակում մեծ մասամբ նշանակում է, որ տվյալ լանջում կծագի սողանք կամ փլվածք: Ցանկալի է նաև իմանալ դեպքի ժամանակը: Կարելի է սահմանափակվել այս հարցով և ընդունել, որ կանխագուշակման նպատակն է փլվածքի ժամանակի որոշումը: Լանչերի փլվածքի կանխագուշակման համար անհրաժեշտ է բացահայտել շոշափմանի կամ իրեն վազ և հայտ բերող գործոնները՝ 1949 թ. ճապոնական պետական երկաթուղիքի կողմից բնական մասշտարով իրագործված լանջի բայցբայման փորձը, արհեստական անձրևացման միջոցով, ցույց տվեց, որ կանխագուշակման ամենաարգույնավետ դործոնը լանջի մակերևույթի ձևափոխման չափումն է: Ապա, դիմելով լարորատոր սոզք-խզման փորձերին, հիմնալորեցին, որ հաստատուն արագության և սոզք-խզման տևողության միջև կա հակառած համեմատական կապ:

Այս հարաբերությունը ուսումնասիրված է լանջերի իրական փլվածքի տվյալների հետ համատեղ և գործնական եղալ փլվածքին նախորդող տևողության գուշակման համար: Հետազայտում գտան, որ հակառած համեմատական հարաբերությունը կարելի է տարածել սոզքի երրորդային շրջանի վրա: Սա հանդեցրեց կիսալոգարիթմական գրաֆիկների գծայնության վրա հիմնված զեպքիկան վերլուծման մեթոդի մշակմանը: Բոլոր այս ձեռքերը մտնում են հեղինակի կողմից մշակված լանջի փլվածքի սկսման ժամանակի կանխագուշակման մեթոդի մեջ (Saito, 1970):

Այժմ կարելի է հանդիպել սոզքի և փլվածքի փորձերի վերաբերուղ շատ օգտակար հոգվածների: Այդ արդյունների համբագումարը բերված է նկ. 15-ում, որտեղ կնառական մեծամասնությունը տեսավորված են Սահմանի և Ուեսավայի կողմից առաջարկված 95%-անի վատահագուշակման առաջարկությամբ (Saito & Uesawa, 1961).

Հետեւարար պետք է ենթադրել, որ ձեռափախության հաստատված արագության և սոզք-խզման տեսական միջև հարաբերությունը, որը մենք սողանական մեջվածում է բոլորի կողմից ընդունված և կիրառելի կիննակիկ ընթացքների տեսամությունը կարող է գրունափառ սոզքի երևույթի բացարարության մեջ հաջողություն ունենալ, սակայն երրորդային շրջանում կան շատ պրոբլեմներ, որոնք շն կարող բացարարվել այս տեսությամբ: Հետեւարար կարելի է ընդունել, որ այժմ գոյություն չունի սոզքի տեսամության, որը կարողանար կիրառվել երրորդային սոզքի շրջանի նկատմամբ: Այս շրջանի համար օգտակար է միայն հեղինակի կողմից առաջարկված փորձնական բանաձեռը, որը նկարագրում է երեսությունը մինչև

<sup>3</sup> Նկարները տե՛ս էջ 47—96:

Професи апомога и землетрясения. Следует отметить, что в землетрясении в 1927 году в Токио были повреждены здания и улицы в районе Акихабара. 2) Дамба на реке Кита-Канагава была разрушена в 1927 году. 3) Дамба на реке Кита-Канагава была разрушена в 1931 году.

Таким образом, землетрясение в Токио в 1927 году было предсказано заранее. Материалом для предсказания послужил доклад профессора Сайто (Saito & Yamada, 1973). В докладе говорится о том, что в 1969 году японским ученым Сайто и Ямадой было установлено, что землетрясение в Токио произошло в 1927 году. В докладе также указывается, что землетрясение в Токио произошло в 1927 году. Материалом для предсказания послужило исследование почвы и грунта в окрестностях Токио, а также анализ данных землетрясений в Японии в 1927 году.

На основании этих данных было предсказано землетрясение в Токио в 1927 году. В докладе говорится, что землетрясение произошло в 1927 году в Токио. В докладе также указывается, что землетрясение произошло в 1927 году в Токио. Материалом для предсказания послужило исследование почвы и грунта в окрестностях Токио, а также анализ данных землетрясений в Японии в 1927 году.

Анализом землетрясений (номера 20—23) было установлено, что землетрясение произошло в 1927 году в Токио. В докладе говорится, что землетрясение произошло в 1927 году в Токио. В докладе также указывается, что землетрясение произошло в 1927 году в Токио. Материалом для предсказания послужило исследование почвы и грунта в окрестностях Токио, а также анализ данных землетрясений в Японии в 1927 году.

Изучением землетрясений (номера 24—25) было установлено, что землетрясение произошло в 1927 году в Токио. В докладе говорится, что землетрясение произошло в 1927 году в Токио. В докладе также указывается, что землетрясение произошло в 1927 году в Токио. Материалом для предсказания послужило исследование почвы и грунта в окрестностях Токио, а также анализ данных землетрясений в Японии в 1927 году.

Изучением землетрясений (номера 26—27) было установлено, что землетрясение произошло в 1927 году в Токио. В докладе говорится, что землетрясение произошло в 1927 году в Токио. В докладе также указывается, что землетрясение произошло в 1927 году в Токио. Материалом для предсказания послужило исследование почвы и грунта в окрестностях Токио, а также анализ данных землетрясений в Японии в 1927 году.

Изучением землетрясений (номера 28—29) было установлено, что землетрясение произошло в 1927 году в Токио. В докладе говорится, что землетрясение произошло в 1927 году в Токио. В докладе также указывается, что землетрясение произошло в 1927 году в Токио. Материалом для предсказания послужило исследование почвы и грунта в окрестностях Токио, а также анализ данных землетрясений в Японии в 1927 году.

Изучением землетрясений (номера 30—31) было установлено, что землетрясение произошло в 1927 году в Токио. В докладе говорится, что землетрясение произошло в 1927 году в Токио. В докладе также указывается, что землетрясение произошло в 1927 году в Токио. Материалом для предсказания послужило исследование почвы и грунта в окрестностях Токио, а также анализ данных землетрясений в Японии в 1927 году.

Изучением землетрясений (номера 32) было установлено, что землетрясение произошло в 1927 году в Токио. В докладе говорится, что землетрясение произошло в 1927 году в Токио. В докладе также указывается, что землетрясение произошло в 1927 году в Токио. Материалом для предсказания послужило исследование почвы и грунта в окрестностях Токио, а также анализ данных землетрясений в Японии в 1927 году.

## EVIDENTIAL STUDY OF FORECASTING OCCURENCE OF SLOPE EAILURE

Dr. Eng. MICHITAKA SAITO<sup>1</sup>

From Editor. The exceptional accuracy of forecasting the Takabayama landslide in Japan done lately by Dr. Eng. M. Saito was one of the most remarkable achievements in the field of engineering geology; the time of the slope failure

<sup>1</sup> Director and Chief Engineer, OYO Corporation, Tokyo, Japan.

was forecasted with an error of 6 minutes only. The short information concerning this landslide and its forecasting appeared in English and Japanese in several successive publications. Owing to the great importance of the landslide forecasting I profited the invitation by the Japan Society of Landslides to visit Japan for lecturing in 1977 and asked Dr. Eng. M. Saito to prepare a more complete paper on the methods of the landslide forecasting for its publication in the Transactions „Problems of Geomechanics“. Dr. Eng. M. Saito sent me very kindly the promised paper in English; it was included in the Transactions planned for publication in 1978. Owing to circumstances beyond our control the publication of the Transactions was retarded until 1982. In the meantime Dr. Eng. M. Saito by Editors consent published this paper in English with a Japanese summary in Transactions „OYO Technical Report“ in Tokyo, with a corresponding reference (Saito, 1979). Taking this into consideration it was found as more expedient to publish the present paper in Russian fully with Armenian and English abridgments.

GEORGE TER-STEPANIAN

*Synopsis.* This paper describes an outline of three types of the procedure on forecasting occurrence of slope failure, that is to say, rough estimation based on steady-state strain rate in the secondary creep range, close estimation through calculation of graphic analysis using substituted logarithmic formula and final precise estimation based on linearity on a semi-logarithmic graph assuming temporary rupture life. Considered from several case studies, it can be said that the method of forecasting failure time based on creep-rupture characteristics is effective and reliable.

— • —

In most cases, forecasting means occurrence of slide or failure for a specified slope. Among other things the time of occurrence is desired to know; therefore, we may make a point of limiting the meaning of forecasting to that of failure time.

A short cut to find forecasting factor is to carry out slope failure tests and thereby to see what factors are most sensitive or can show earlier changes. Through full-scale slope failure tests with artificial rainfall by Japanese National Railways in 1949, it was found that strain measurement of slope surface is the most effective as forecasting factor. It was turned to creep-rupture tests in laboratories, and inversely proportional relationship between steady-state strain rate and creep-rupture life was found.

This relationship was examined with actual slope failure records and verified effective to forecast the rupture life. It was found, furthermore, that the inversely proportional relationship can be extended to the tertiary creep range with some modification. This resulted to devise graphical analysis and semi-logarithmic representation to pursue linearity. All these procedures are included in the method of forecasting the time of initiation of slope failure that I have developed.

Nowadays there can be found many useful contributions related to creep-rupture tests. Compilation of those results is shown in Fig. 15<sup>1</sup>, in which plots are situated within the range of 95% confidence limits proposed by Saito & Uezawa (1961). It can be said, therefore, that the relationship between steady-state strain rate and creep-rupture life, which we made a proposal in 1961, is current and available still now.

Recently, rate process theory has come to gain ground to explain creep phenomena of soil, but there are many problems that cannot be explained with this theory in the tertiary creep range. It should be said, therefore, that no creep theory is formed at present to be applicable to the tertiary creep range. in this range the experimental formula proposed by the author is only our strength up to the moment of rupture.

Several case studies are referred to as evidential facts, classified in four groups as follows:

- (1) Landslides failed after long creep movement,
- (2) Landslides that finally ceased without failure,

<sup>1</sup> Figures see pages 47—68.

(3) Split-type failures,

(4) Slope failures directly caused by rainfall.

Takabayama Landslide is known as an example of perfect observation and vigilance. Unusual dislocation was found in April 1969, about 9 months before failure, and thereafter careful observation was performed. Forecasting of failure time was made with two ways: estimation with transient strain rate and graphical analysis for substituted logarithmic curve in the tertiary creep range. Public announcement for failure was made at 5 p.m. on the 21st of Jan. 1970, the day before, that the slope would fail at the coming midnight or before dawn. Then the estimation of failure time was revised every hour. The final announcement was made at the midnight that the failure would occur at 1:30 on the 22nd, according to the graphical analysis in the tertiary creep range, and actual failure occurred at 1:24 on the 22nd. The difference between estimated and actual failure time is only 6 minutes. It was said that there was nothing else than a miracle.

In case of Agoyama Landslide, forecasting of failure time was rather difficult, because of irregular movement at the final stage, and the difference between estimated and actual failure time resulted in amount of 5 hours. Later it was made clear that this discrepancy was caused by the reason that movement of total mass was stopped at the final stage and only one third of the mass failed at all.

Collapse of a steep slope at Tama Lakeside Road and Yunotai Landslide were reported in commercial technical magazine. In both cases, my forecasting method was used, but I had no relation with the work of observation and estimation of failure time.

Landslide at Kashiwara Interchange and Iwadonoyama Landslide are examples of landslides that finally ceased without failure after rapid movement. It is worth noticing that maximum strain rate attained to the order of  $10^{-6}$  per min. in both cases.

In case of failure of a vertical cut at Welland, forecasting of failure time with steady-state strain rate did not come true, but graphical analysis would be applied with good result.

In case of Hiketa Landslide, directly caused by heavy rainfall, mechanism of sliding movement is not the same with that of usual landslide, and so usual estimation of failure time is not applicable, but semi-logarithmic representation to pursue linearity is successfully applied.

Through these case studies, it can be said that the method of forecasting failure time based on creep-rupture characteristics is effective and reliable.

I would like to express cordial gratitude to Prof., Dr. Techn. Sc. G. I. Ter-Stepanian, who persuaded me to present this paper, and also to express my wholehearted appreciation to officers of OYO Corporation, especially to the Chairman Dr. Sci. A. Fukada, the President Dr. Sci. K. Suyama and Mr. S. Ohya, Deputy Head of the Technical Headquarters of OYO, who willingly admitted and encouraged me to complete my work.

#### ԳՐԱԿԱՂՈՒԹՅՈՒՆ — ЛИТЕРАТУРА — REFERENCES

- Ter-Stepanian G. I., 1976. Исследование ползучести глин при сдвиге. Проблемы геомеханики, Ереван, № 7, с. 18—49.
- Bishop A. W., 1966. The strength of soils as engineering materials, Sixth Rankine Lecture, Géotechnique, 16(2):89—130.
- Campanella R. G. & Vaid Y. P., 1974. Triaxial and plane strain creep rupture of an undisturbed clay, Canadian Geotechnical Journal, 11(1):1—10.
- Casagrande A. & Wilson S. D., 1951. Effect of rate of loading on the strength of clays and shales at constant water content, Géotechnique, 2(2):251—263.
- Finn W. D. L. & Snead D., 1973. Creep and creep rupture of an undisturbed sensitive clay, Proc. Eighth Int. Conf. Soil Mech. Found. Engg., Moscow, 1—1: 135—142.
- Harada S., 1972. Landslide at Iwadonoyama on Central Expressway and its repair work, Construction, 10(8): 30—37 (in Japanese).

- Hasagawa H. & Kiuchi A., 1977. On forecasting slope failure along Tama Lakeside Road, Soils and Foundations, 25(3):83-86 (in Japanese).
- Kurihara N., 1972. Experimental study on creep rupture of clays, Proc. Japan Soc. Civil Engrs, 202:59-71 (in Japanese).
- Kwan D., 1971. Observations of the failure of a vertical cut in clay at Welland, Ontario, Canadian Geotech. Jour., 8(2):283-298.
- Lazan B. J., 1962. Stress-strain-time relations for idealized materials, Symposium on Stress-Strain-Time-Temperature Relationships in Materials, ASTM, STP 325:3-18.
- Morlier P., 1964. Étude expérimentale de la déformation des roches, Revue de l'Institut Français du Pétrole, 19(10):1113-1147; 19(11):1183-1217.
- Murayama, S. & Shibata T., 1956. On the rheological characters of clay. Trans. Japan Soc. Civ. Engrs, 40 (in Japanese).
- Murayama S. & Shibata T., 1961. Rheological properties of clays, Proc. Fifth Int. Conf. Soil Mech. Found. Engg., Paris, 1:269-273.
- Saito M., 1965. Forecasting the time of occurrence of a slope failure, Proc. Sixth Int. Conf. Soil Mech. Found. Engg., Montreal, 2:537-541.
- Saito M., 1968. Research on forecasting the time of occurrence of slope failure, Railway Technical Research Report, 626, JNR, (in Japanese).
- Saito M., 1969. Forecasting time of slope failure by tertiary creep, Proc. Seventh Int. Conf. Soil Mech. Found. Engg., Mexico City, 2:677-683.
- Saito M., 1970. Estimation of the rupture life of soil based on the shape of the creep curve, Proc. Fifth Int. Cong. on Rheology, Kyoto, 2:559-567.
- Saito M., 1979. Evidential study on forecasting occurrence of slope failure. OYO Technical Report, Tokyo, No. 1, pp. 1-23 (with Japanese summary).
- Saito M. & Uezawa, H. 1961. Failure of soil due to creep, Proc. Fifth Int. Conf. Soil Mech. Found. Engg., Paris, 1:315-318.
- Saito M. & Yamada G., 1973. Forecasting and result in case of landslide at Takabayama, Proc. Eighth Int. Conf. Soil Mech. Found. Engg., Moscow, 4-3:325-327.
- Sakurai T., 1974. Landslide disaster on the Japanese National Railways, News, Landslides, II(3):40-41 (in Japanese).
- Saruta T. & Ishibashi M., 1976. Big slope failure in 20 days after beginning of movement, Railway Civil Engineering, 12(6):47-50 (in Japanese).
- Sekiguchi H., 1977. Rheological characteristics of clay, Proc. Ninth Int. Conf. Soil Mech. Found. Engg., Tokyo, 1:289-292.
- Singh A. & Mitchell J. K., 1969. Creep potential and creep rupture of soils, Proc. Seventh Int. Conf. Soil Mech. Found. Engg., Mexico City, 1:379-384.
- Tokuno M. & Tatsumi T., 1971. Landslide at Nishimethan Expressway and its treatment, Civil Engineering Execution, 12(3):21-32; 12(4):17-27 (in Japanese).
- Vyalov S. S., Maslov N. N. & Karaulova Z. M., 1977. Laws of soil creep and long-term strength, Proc. Ninth Int. Conf. Soil Mech. Found. Engg., Tokyo, 1: 337-340.
- Watari M., 1973. Landslide movement at Agoyama, Fukui Pref. Executive Technique 6(7): 109-112 (in Japanese).
- Yano Y., 1976. I witnessed a big slope failure, Railway Civil Engineering, 18(6):75-76, (in Japanese).